

## Prvek, nuklid, izotop, izobar, izoton

<sup>19</sup>  
9 **F**

A = Nukleonové (hmotnostní) číslo

A = počet protonů + počet neutronů

A = Z + N

Z = Protonové číslo, náboj jádra

Prvek = soubor atomů se stejným Z

Nuklid = soubor atomů se stejným A a Z

Izotopy = soubor nuklidů daného prvku

Izobary = nuklidy se stejným A a různým Z (<sup>14</sup>C-<sup>14</sup>N; <sup>3</sup>H-<sup>3</sup>He)

Izotony = nuklidy se stejným počtem neutronů, N = A – Z

Izomery = stejné nuklidy, liší se obsahem energie



Frederick Soddy  
(1877-1956)

NP za chemii 1921  
(objev izotopů)

# Izotopy

Izotopy jsou souborem nuklidů pro daný prvek  
existuje asi 2600 nuklidů (stabilních i radioaktivních)  
340 nuklidů se vyskytuje v přírodě  
270 stabilních a 70 radioaktivních, ostatní uměle připravené

Monoizotopické prvky:

${}^9\text{Be}$ ,  ${}^{19}\text{F}$ ,  ${}^{23}\text{Na}$ ,  ${}^{27}\text{Al}$ ,  ${}^{31}\text{P}$ ,  ${}^{59}\text{Co}$ ,  ${}^{127}\text{I}$ ,  ${}^{197}\text{Au}$

Polyizotopické prvky:

${}^1\text{H}$ ,  ${}^2\text{H}$  (D),  ${}^3\text{H}$  (T)

${}^{10}\text{B}$ ,  ${}^{11}\text{B}$

Sn má největší počet **stabilních** izotopů – 10

112, 114, 115, 116, 117, 118, 119, 120, 122,  ${}^{124}\text{Sn}$

## Stabilita jader

Stabilita vzhledem k radioaktivnímu rozpadu je určena počtem **protonů a neutronů**

Zóna stability

Lehké nuklidy stabilní pro  $Z \sim N$  (stejný počet p a n)

Jen  $^1\text{H}$  a  $^3\text{He}$  mají více p než n.

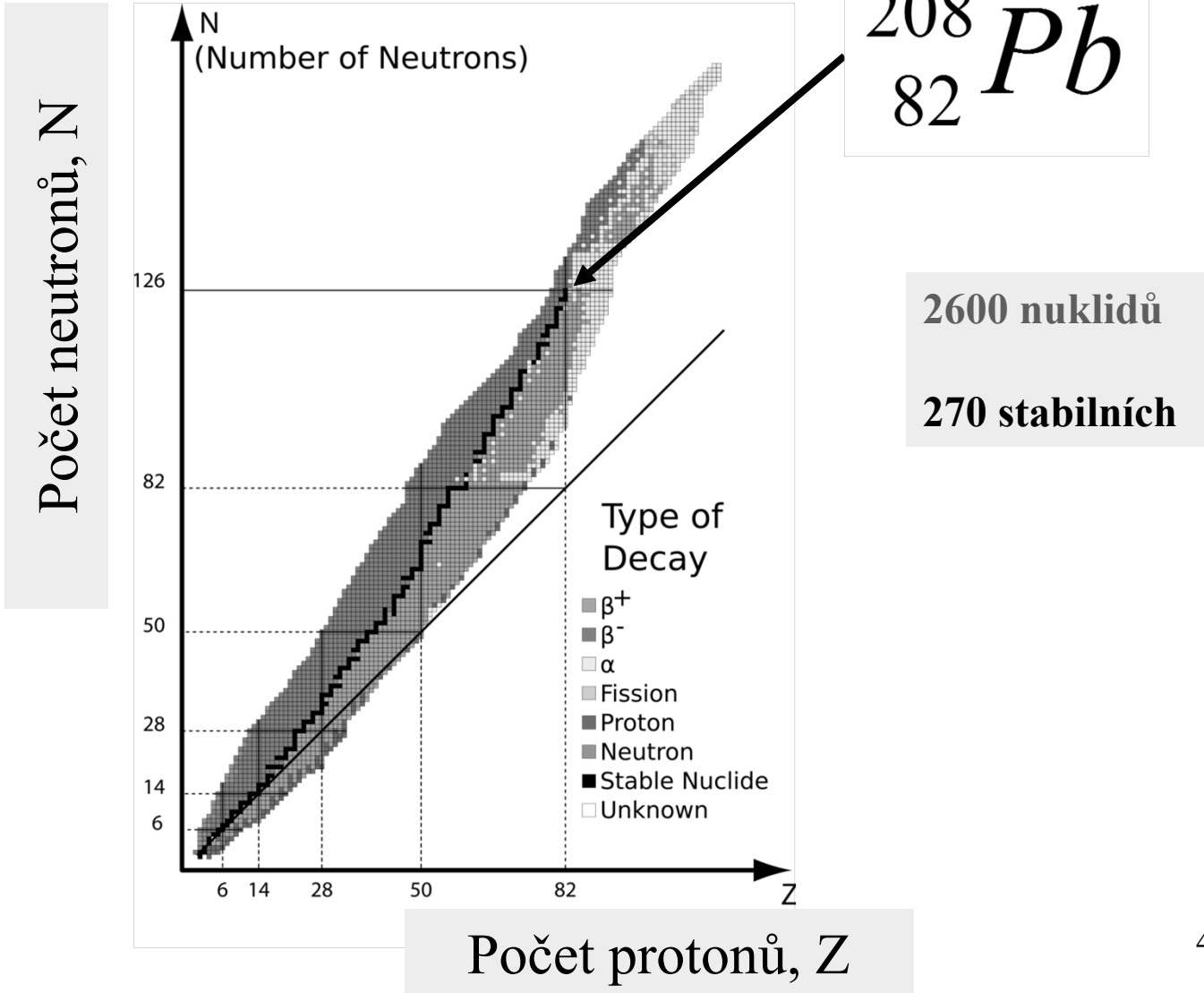
$^2\text{H}$ ,  $^4\text{He}$ ,  $^6\text{Li}$ ,  $^{10}\text{B}$ ,  $^{12}\text{C}$ ,  $^{14}\text{N}$ ,  $^{16}\text{O}$ ,  $^{20}\text{Ne}$ ,  $^{24}\text{Mg}$ ,  $^{28}\text{Si}$ ,  $^{32}\text{S}$ ,  $^{36}\text{Ar}$  a  $^{40}\text{Ca}$  mají stejný počet p a n

Všechny ostatní nuklidy mají **více n než p**  $N > Z$

**Mattauchovo pravidlo:** ze dvojice izobarů, které se liší o 1 v protonovém čísle, je jeden radioaktivní.

$^{40}\text{Ar}$   $^{40}\text{Ca}$   $\Delta Z = 2$        $^{40}\text{Ar}$   $^{40}\text{K}$   $^{40}\text{Ca}$   $\Delta Z = 1$   $^{40}\text{K}$  je radioaktivní

# Stabilita jader



## Stabilita jader

U některých prvků existují v přírodě radioaktivní izotopy s dlouhým poločasem přeměny  $^{40}\text{K}$ , 0,012%,  $1,3 \cdot 10^{10}$  roků

Prvky s  $Z \leq 83$  (po Bi) mají alespoň jeden stabilní izotop

Výjimky:  $Z = 43$  (Tc), 61 (Pm) se nevyskytují v přírodě

Umělé radioaktivní izotopy připravené jadernými reakcemi

Nuklidy s  $Z \geq 84$  (od Po dále) jsou **nestabilní** vzhledem k radioaktivnímu rozpadu = **radioaktivní prvky**

## Magická čísla

Počet Protonů, Z	Počet Neutronů, N	Počet stabilních nuklidů
Sudá	Sudá	168
Sudá	Lichá	57
Lichá	Sudá	50
Lichá	Lichá	4

Nuklidy se sudým počtem p a n jsou nejčastější

**Astonovo pravidlo:** prvky se sudým Z mají více izotopů, prvky s lichým Z nemají více než dva izotopy, z toho jeden nestabilní, prvky s lichým počtem nukleonů (A) mají jen jeden stálý izotop ( ${}^9\text{Be}$ ,  ${}^{19}\text{F}$ ,  ${}^{23}\text{Na}$ ,  ${}^{27}\text{Al}$ ,  ${}^{31}\text{P}$ ,  ${}^{59}\text{Co}$ ,  ${}^{127}\text{I}$ ,  ${}^{197}\text{Au}$ ).

Jen  ${}^2\text{H}$ ,  ${}^6\text{Li}$ ,  ${}^{10}\text{B}$ ,  ${}^{14}\text{N}$ ,  ${}^{40}\text{K}$ ,  ${}^{50}\text{V}$ ,  ${}^{138}\text{La}$ ,  ${}^{176}\text{Lu}$

mají lichý počet jak p tak n

# Magická čísla

**Magická čísla 2, 8, 20, 28, 50, 82 a 126**

Prvky s  $Z =$  magické číslo mají velký počet stabilních izotopů, pokud je izotop radioaktivní, pak má dlouhý poločas rozpadu

Sn  $Z = 50$ , 10 stabilních izotopů

Nuklidy  ${}^4\text{He}$ ,  ${}^{16}\text{O}$ ,  ${}^{40}\text{Ca}$ ,  ${}^{48}\text{Ca}$  a  ${}^{208}\text{Pb}$  mají magický počet  $p$  i  $n$

## Hmotnost elektronu a nukleonů

<b>Symbol</b>	<b><i>m</i> / kg</b>	<b><i>m</i> / amu</b>
<b>e</b>	<b>9,11 10<sup>-31</sup></b>	<b>0,0005486</b>
<b>p</b>	<b>1,673 10<sup>-27</sup></b>	<b>1,007276</b>
<b>n</b>	<b>1,675 10<sup>-27</sup></b>	<b>1,008665</b>

$$1 \text{ amu} = 1,6606 \cdot 10^{-27} \text{ kg}$$

# Hmotnostní úbytek

**Hmotnost jádra je vždy menší než součet hmotností nukleonů**

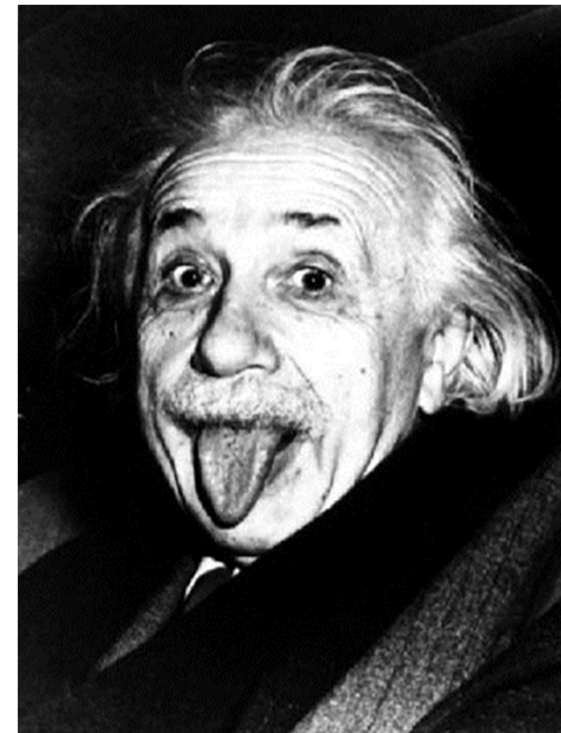
$$M_j < Z m_p + (A-Z) m_n$$

Hmotnostní úbytek  $\Delta m < 0$   
[ $\Delta m$  v jednotkách amu]

Vazebná energie jádra  $E_v = - \Delta m c^2$

$$E_v = - 931,5 \Delta m \text{ [MeV]}$$

$$1 \text{ eV} = 1,60210 \cdot 10^{-19} \text{ J}$$



NP za fyziku 1921

## Vazebná energie jádra, $E_v$

Nuklid	$E_v$ , MeV
$^2\text{H}$	2.226
$^4\text{He}$	28.296
$^{14}\text{N}$	104.659
$^{16}\text{O}$	127.619
$^{40}\text{Ca}$	342.052
$^{58}\text{Fe}$	509.945
$^{206}\text{Pb}$	1622.340
$^{238}\text{U}$	1822.693

## Střední vazebná energie jádra, $E_v(st)$

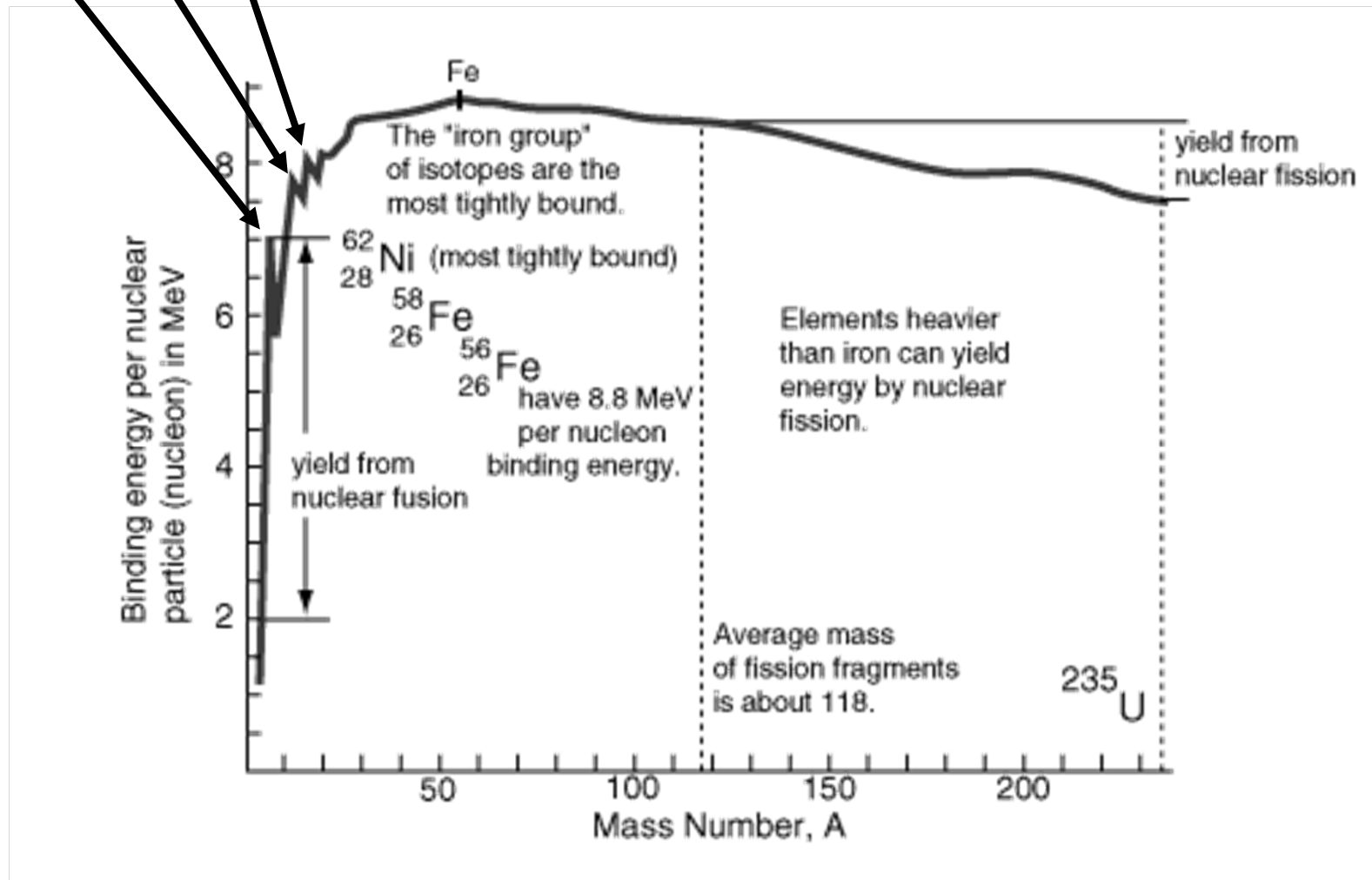
Nuklid	$E_v(st)$ , MeV	$E_v$ , MeV
$^2\text{H}$	1.113	2.226
$^4\text{He}$	7.074	28.296
$^{14}\text{N}$	7.476	104.659
$^{16}\text{O}$	7.976	127.619
$^{19}\text{F}$	7.779	147.801
$^{40}\text{Ca}$	8.551	342.052
$^{55}\text{Mn}$	8.765	482.070
$^{58}\text{Fe}$	8.792	509.945
$^{62}\text{Ni}$	8.795	545.259
$^{206}\text{Pb}$	7.875	1622.340
$^{238}\text{U}$	7.658	1822.693

$E_v(st)$  = Energie na  
odtržení 1 nukleonu

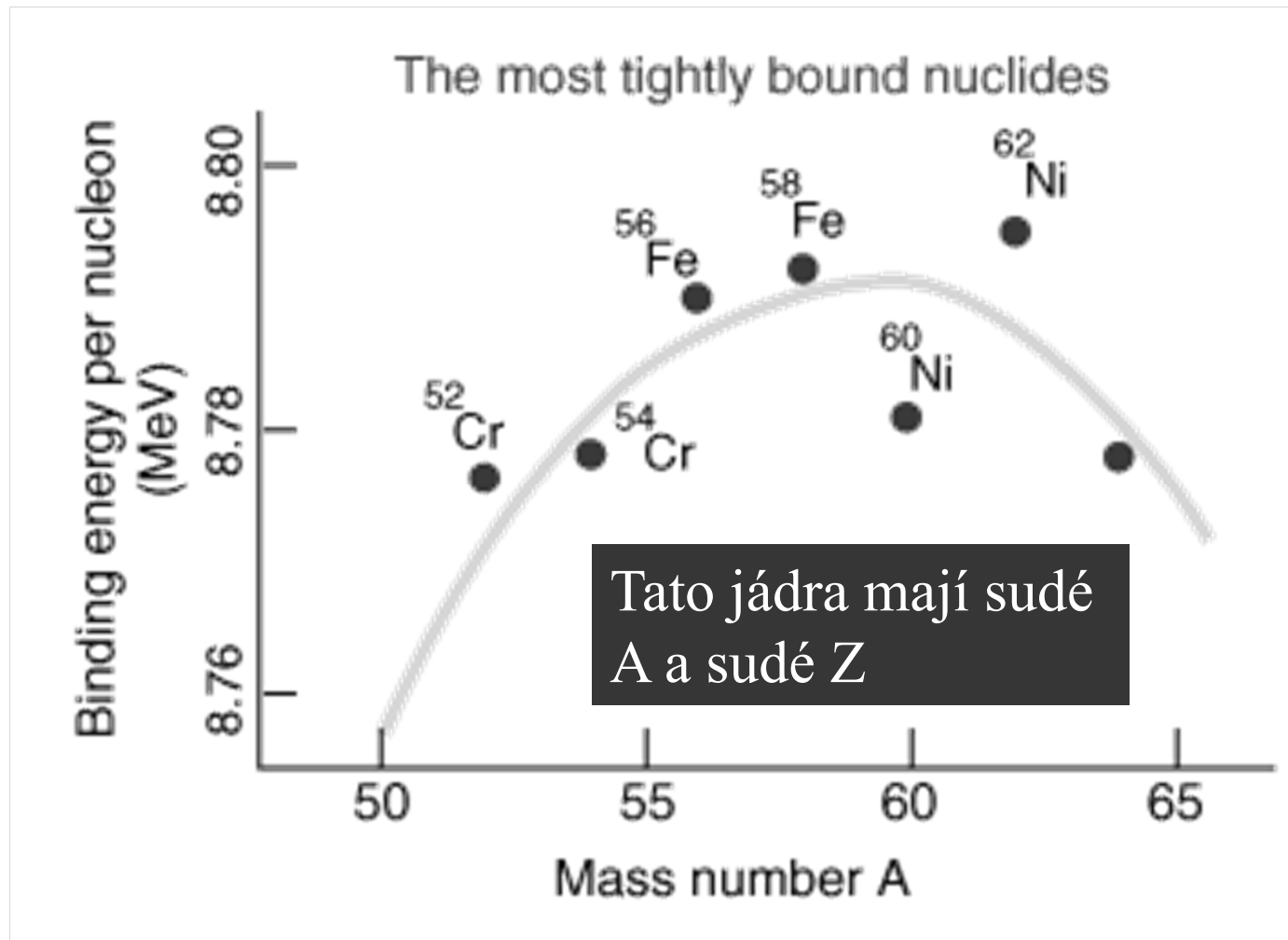
$$E_v(st) = \frac{E_v}{A}$$

# Střední vazebná energie jádra

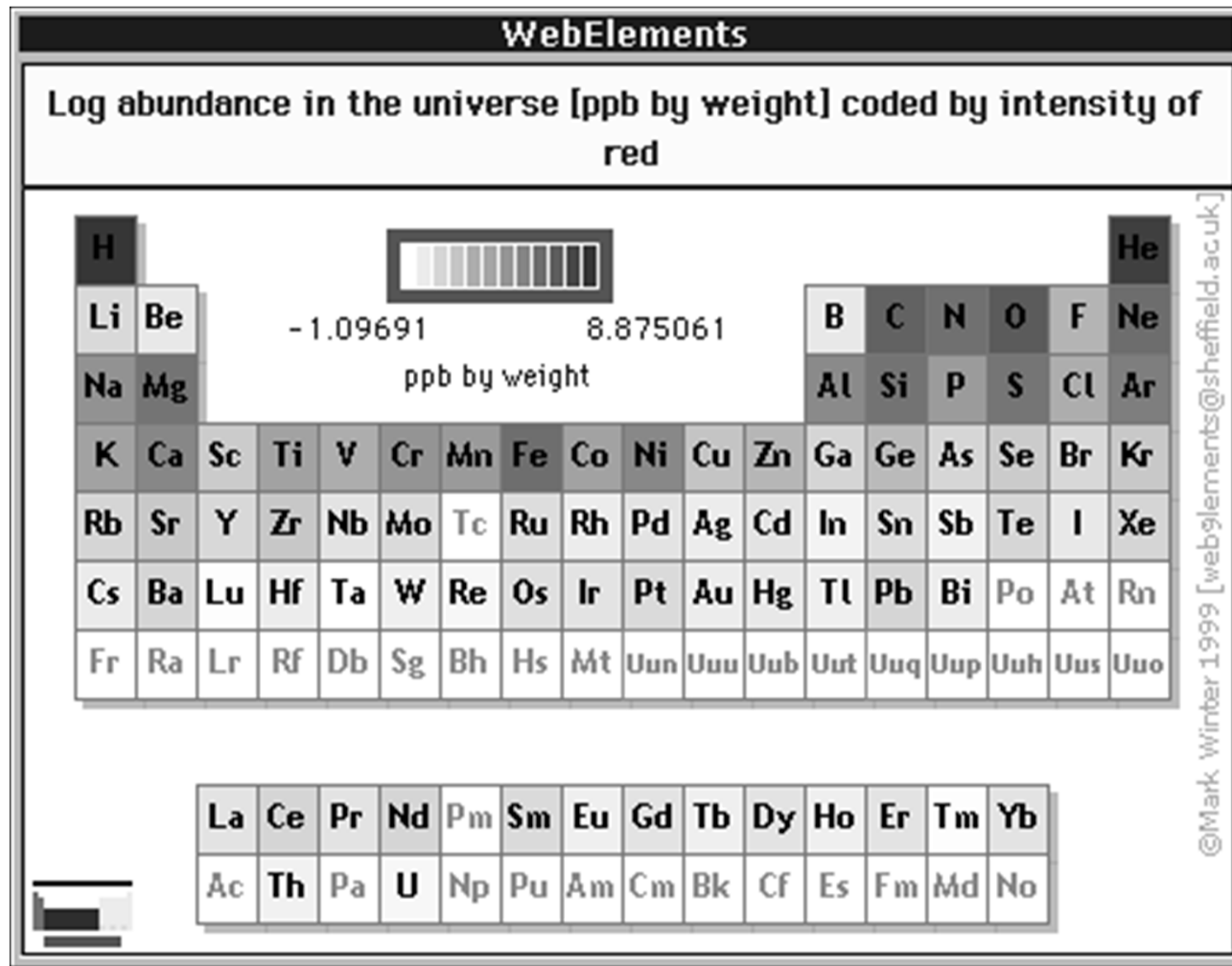
$^4\text{He}$   $^{12}\text{C}$   $^{16}\text{O}$



## Střední vazebná energie jádra



# Výskyt prvků ve vesmíru



## **Vazebná energie jádra a chemické vazby**

Střední vazebná energie jádra  $^{58}\text{Fe}$  8.792 MeV

Energie vazby C–H 411 kJ mol<sup>-1</sup> = 4.25 eV

**Jaderná vazebná energie je milionkrát větší než chemická vazebná energie.**

## Vazebná energie jádra a chemické

Chemické reakce se odehrávají ve vnější elektronové slupce, atomové jádro zůstává neovlivněno.

Energetické změny při chemických reakcích jednotky eV

$$1 \text{ eV (molekula)}^{-1} = 96,485 \text{ kJ mol}^{-1}$$

Hmotnostní úbytek neměřitelný, platí zákon zachování hmotnosti.

Jaderné reakce mění složení jader, elektronový obal nehraje žádnou roli. Energetické změny řádu MeV. Významné hmotnostní úbytky, platí zákon zachování energie a ekvivalence hmoty a energie.

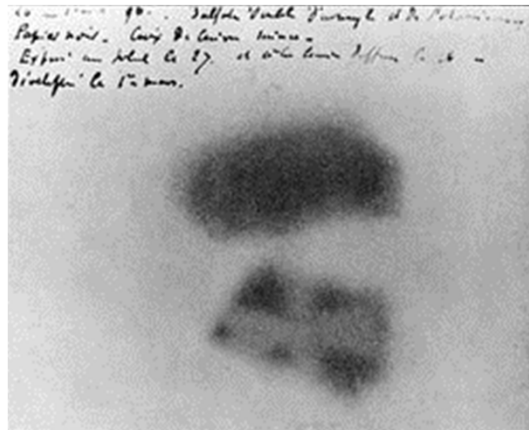
$$E = m \times c^2$$

## Objev radioaktivity



Uran, Thorium

Antoine Henri Becquerel  
(1852-1908)



Objev radioaktivity 1896  
NP za fyziku 1903



Radium, Polonium  
Marie Curie (1867-1934)  
Pierre Curie (1859-1906)

NP za fyziku 1903  
M. C. NP za chemii 1911

# Musée Curie



# Radium



# Radioaktivita

Má-li jádro příliš málo nebo mnoho neutronů →



**Radioaktivita** = schopnost některých jader přeměňovat se na jiné jádro, emitují se menší částice a uvolňuje se energie (exo)

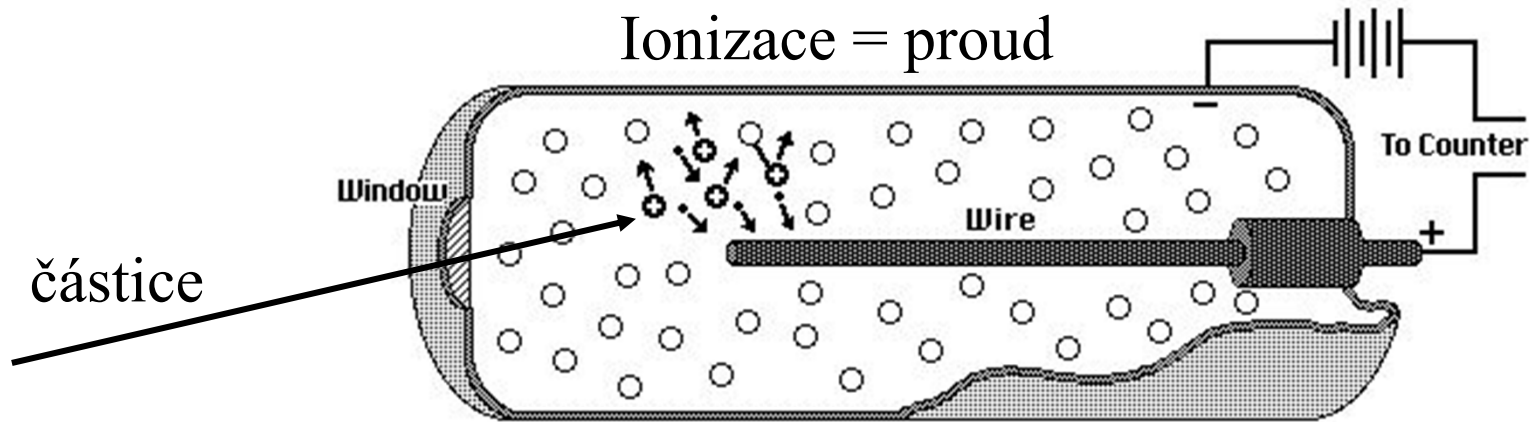
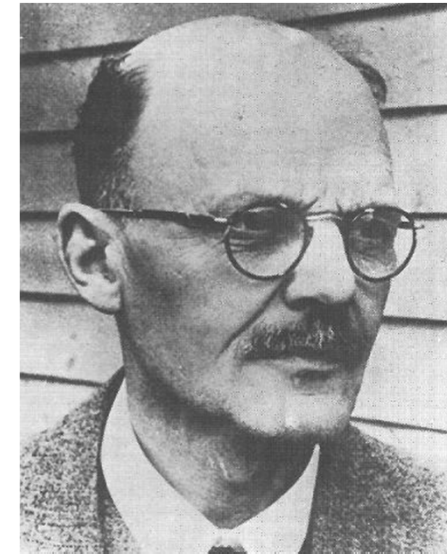
**Radioaktivita** = samovolný děj, produkty mají nižší obsah energie a jsou stabilnější

Stable Isotopes							
99%				1%			
${}^9_6\text{C}$	${}^{10}_6\text{C}$	${}^{11}_6\text{C}$	${}^{12}_6\text{C}$	${}^{13}_6\text{C}$	${}^{14}_6\text{C}$	${}^{15}_6\text{C}$	${}^{16}_6\text{C}$
.13	19	20.6			5730	2.25	.74
sec.	sec.	min.			years	sec.	sec.
Positron decay				beta decay			

# Geigerův čítač



Hans Geiger  
(1882-1945)



## Měření radioaktivity

### Radioaktivita

1 Bq (becquerel) = 1 rozpad za 1 s

(<sup>40</sup>K v lidském těle 4 kBq)      1 Ci (curie) = 3,7 · 10<sup>10</sup> Bq = 37 GBq

### Radiační dávka

1 Gy (gray) = absorpce 1 J v 1 kg

1 Gy = 100 rad

### Ekvivalentní dávka

1 Sv (sievert) = 1 Gy × Q faktor

1 Sv = 100 rem

3 Sv = LD 50/30

2 mSv/rok = dávka od kosmického záření a přirozeného  
radiačního pozadí v ČR

Fotony a elektrony všech energií	Q = 1
Protony	Q = 2
Neutrony	Q je funkcí energie
Alfa částice a jiná jádra	Q = 20

# Jaderné reakce

**Rutherford** – odklon radioaktivního záření v elektrickém a magnetickém poli

Alfa = pozitivně nabitě částice

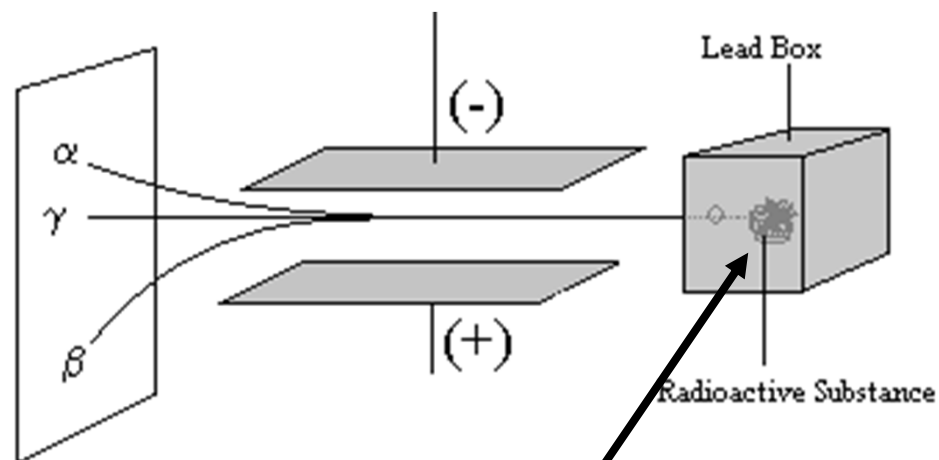
Beta = negativně nabitě částice

Gama = neutrální částice

Tvorba nového nuklidu

**Posuvové zákony – změny v Z a N**

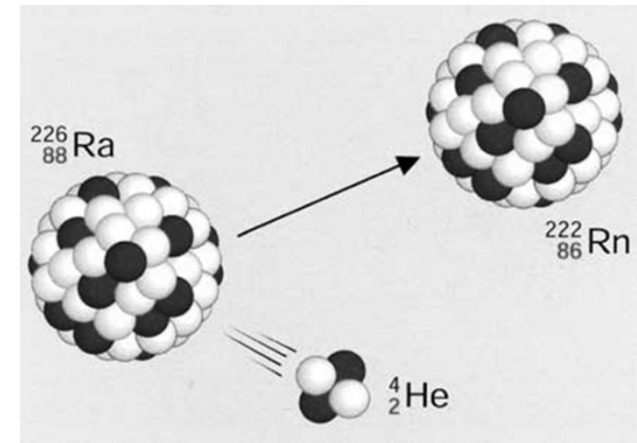
**Posun v periodické tabulce**



## Emise alfa částice

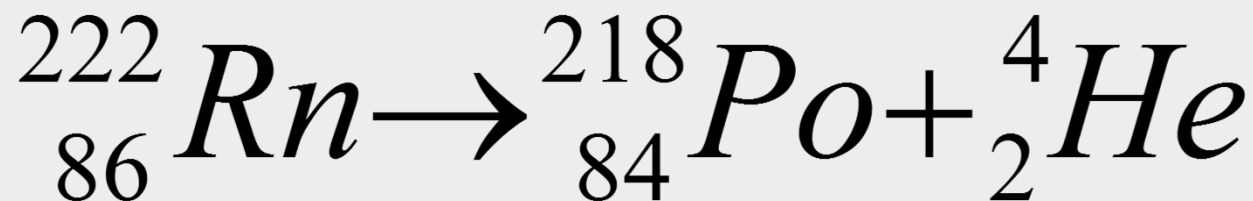
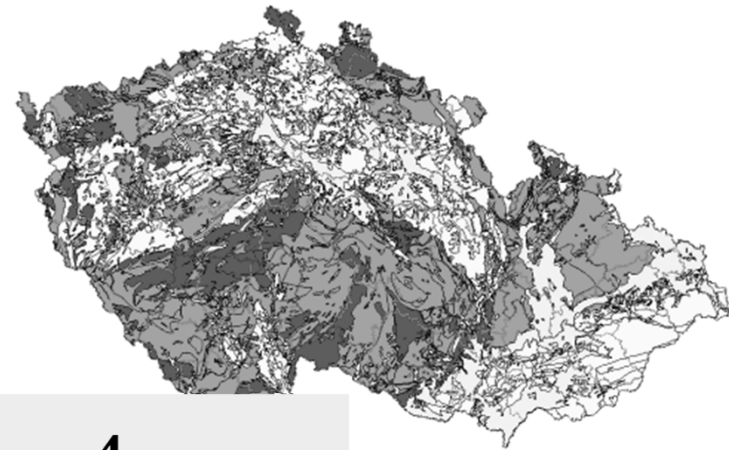
U těžkých jader

Alfa částice opouští jádro rychlostí 10% c



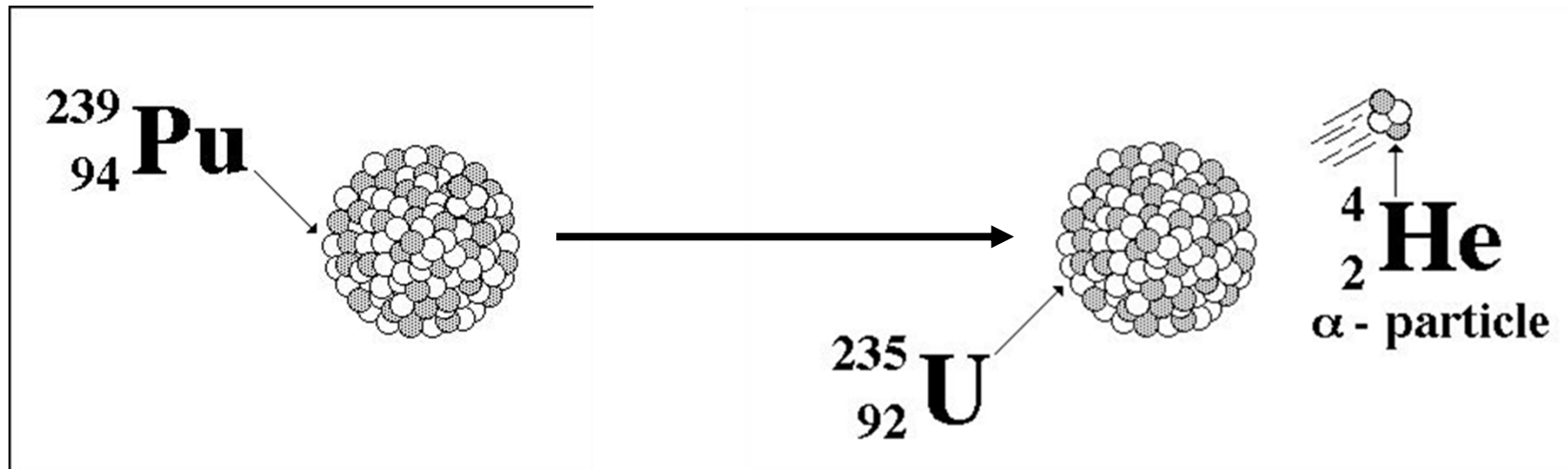
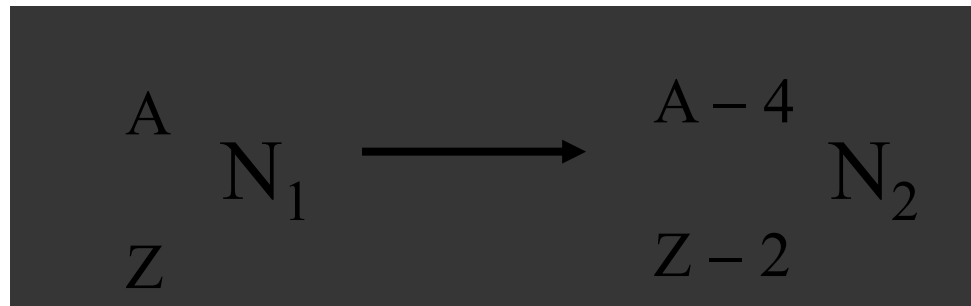
Velmi malá penetrace, několik cm ve vzduchu, zastaví je list papíru

Velmi škodlivé pro buňky  
Inhalace



# Alfa emise

Posun v periodické tabulce o dva prvky doleva



Radium-226

## Alfa emise

Kalifornium-252

Curium-240

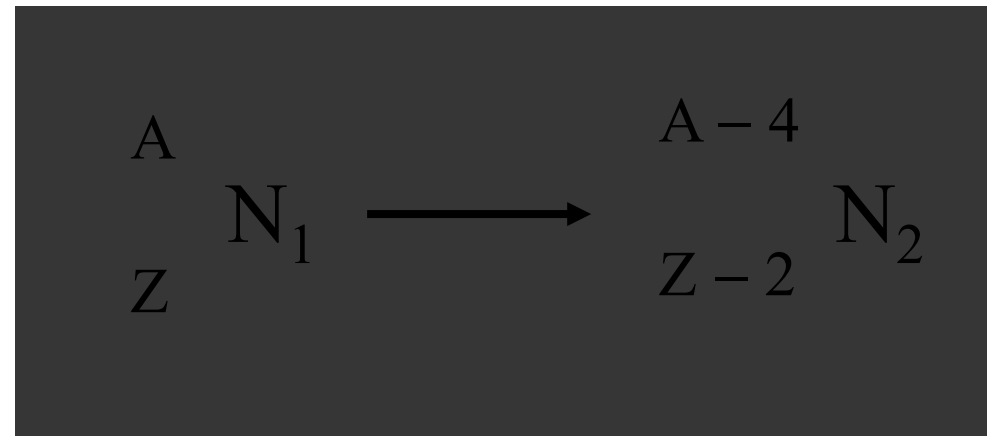
Uran-232

Zlato-185

Thorium-230

Americium-241 detektory kouře

Polonium-210



Posun v periodické tabulce o dva prvky doleva

## Beta částice



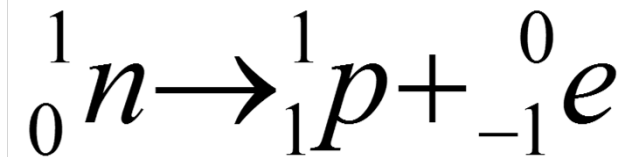
Jádra s nadbytkem neutronů, nedostatek protonů



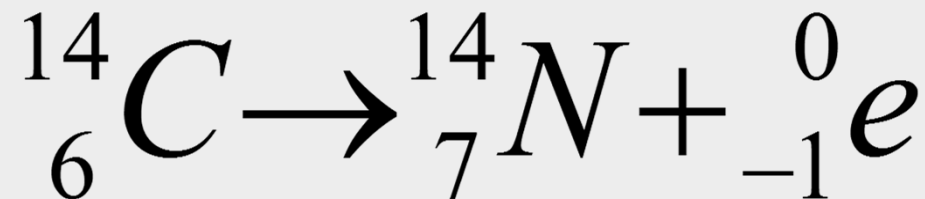
Beta částice jsou elektrony (ale ne z elektronového obalu!!!)

Vznikají rozpadem neutronu

e opouští jádro rychlostí 90% c

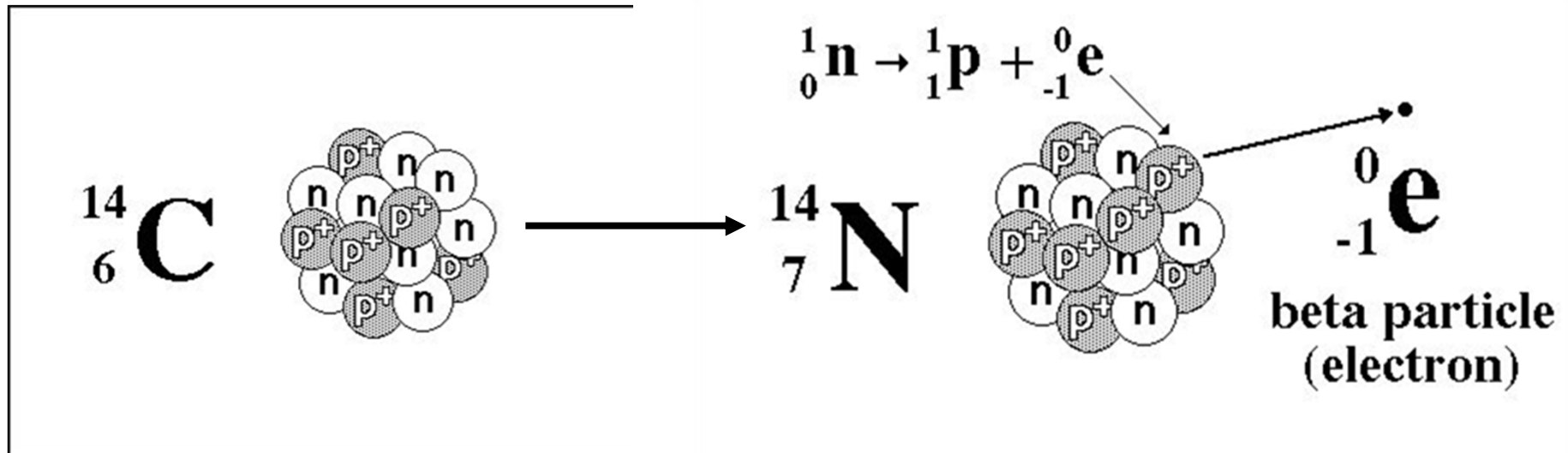
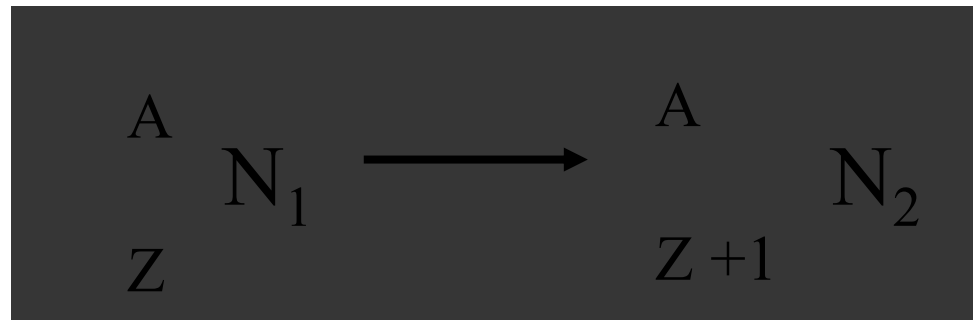


Penetrace větší než alfa, několik m ve vzduchu,  
zastaví je 1 cm Al folie



# Beta emise

Posun v periodické tabulce o jeden prvek doprava



Krypton-87

## Beta emise

Zinek-71

Křemík-32

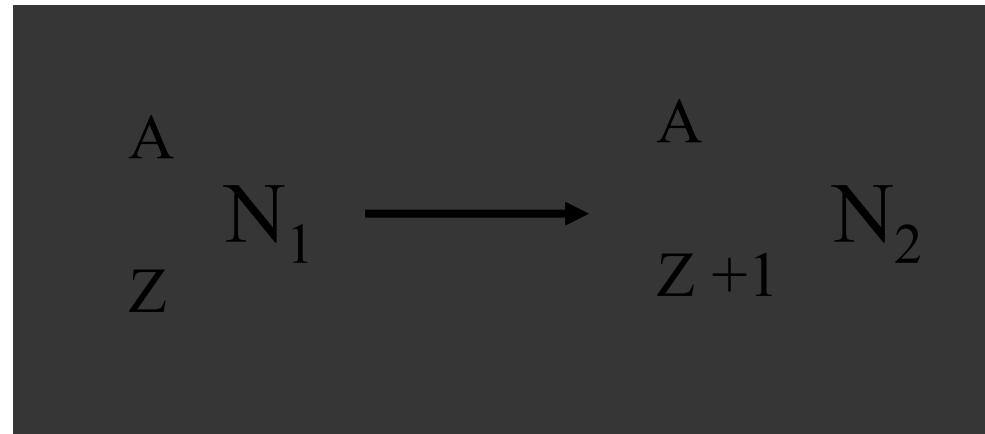
Kobalt-60

Hořčík-27

Sodík-24

Železo-59

Fosfor-32



Posun v periodické tabulce o jeden prvek  
doprava

# Gama částice

Jádra s nadbytkem energie emitují gama částice

Elektromagnetické záření s velmi krátkou vlnovou délkou,  
Vysoká energie, MeV

Rychlost světla

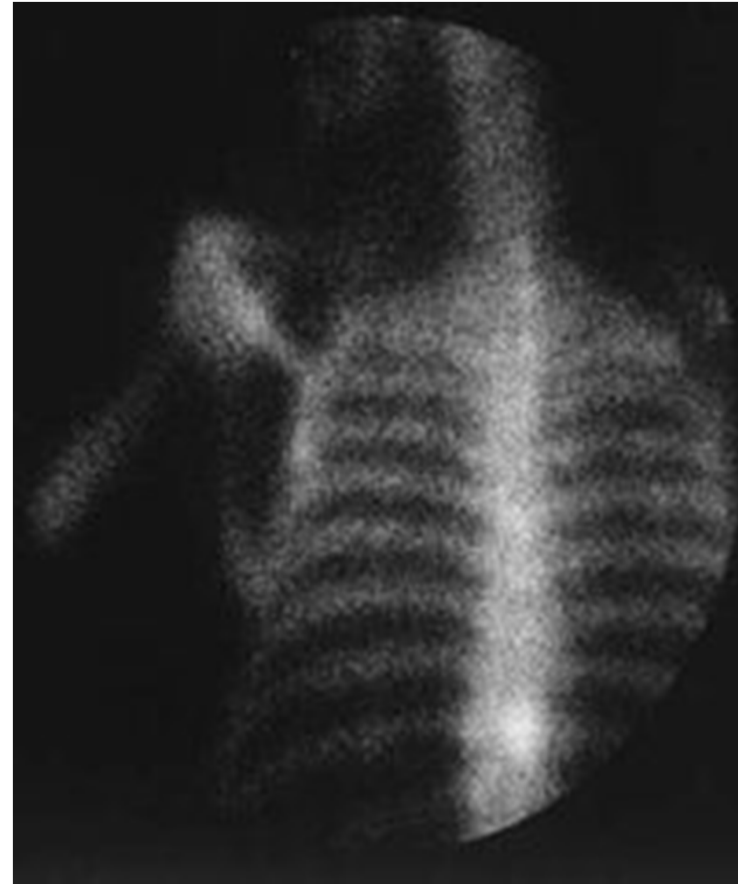
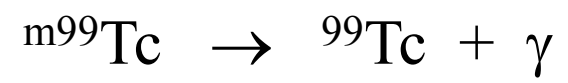
Hluboká penetrace, 500 m ve vzduchu



# Tracer

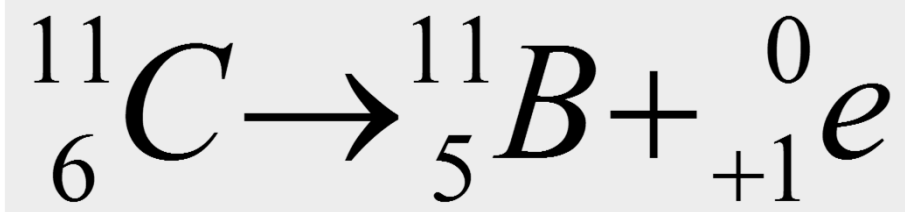
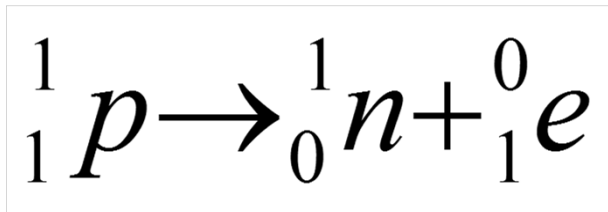
Gyorgy Hevesy 1913

NP 1943



# Positronová emise ${}^0_1e$

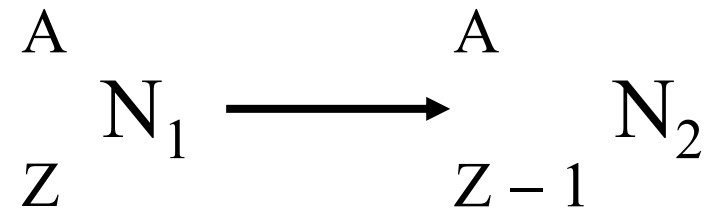
Jádra s nadbytkem protonů, nedostatek neutronů



Positron (antičástice) se rekombinuje během  $10^{-10}$  s

Velmi malá penetrace

Anihilace  ${}^0_1e + {}^0_{-1}e \rightarrow \gamma$



Posun v periodické tabulce o jeden prvek doleva

## Positronová emise

Rubidium-81

Germanium-66

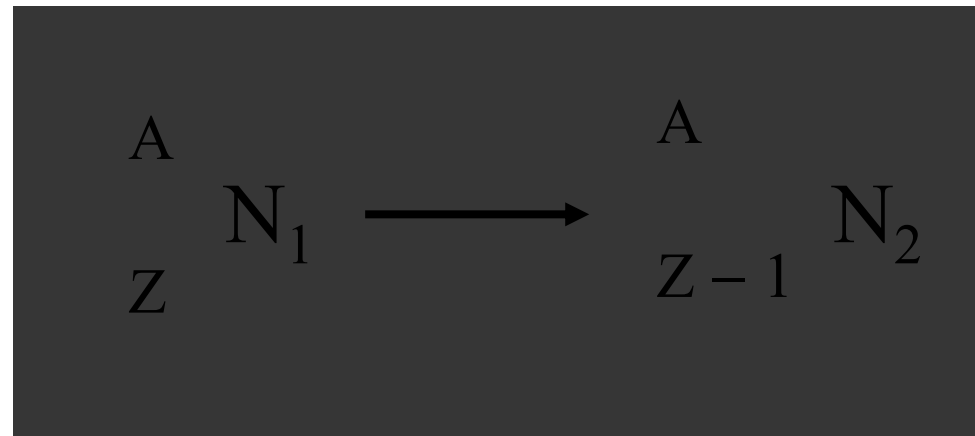
Praseodym-140

Neon-18

Kyslík-15

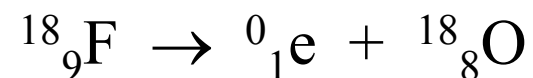
Dusík-13

Měď-59



Posun v periodické tabulce o jeden prvek doleva

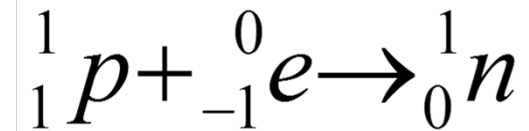
PET



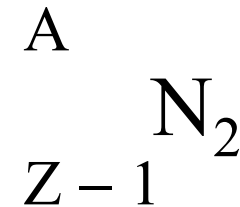
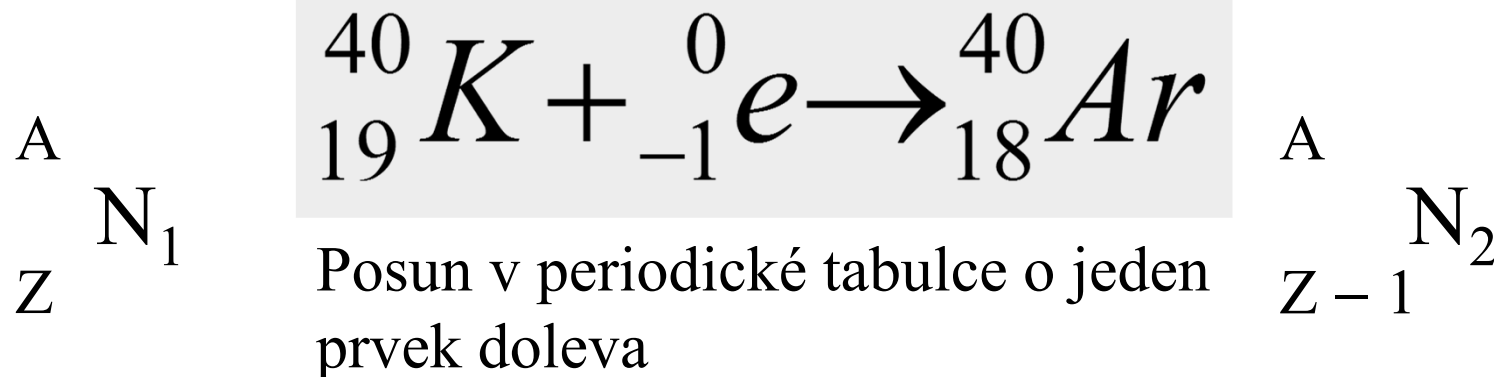
## Elektronový záchyt

Elektron z elektronového obalu atomu může být zachycen jádrem

Zachycený e přemění p na n,  
e z vnější slupky klesne na volnou hladinu,  
emise rentgenového záření



Jádra s  $Z > 83$  nemohou dosáhnout stability beta emisí,  
pozitronovou emisí nebo elektronovým záchytem

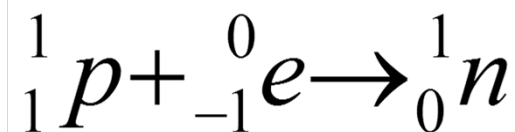


Rubidium-83

## Elektronový záchyt

Vanad-48

Gallium-67

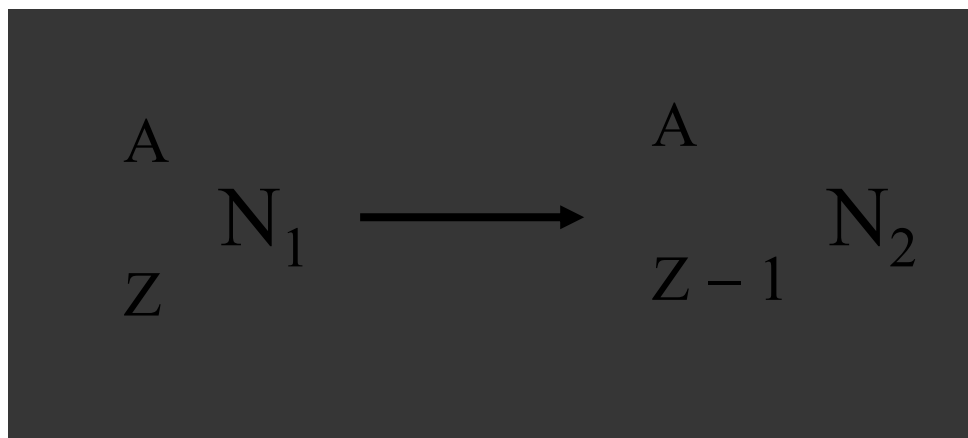


Beryllium-7

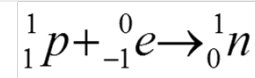
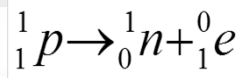
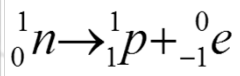
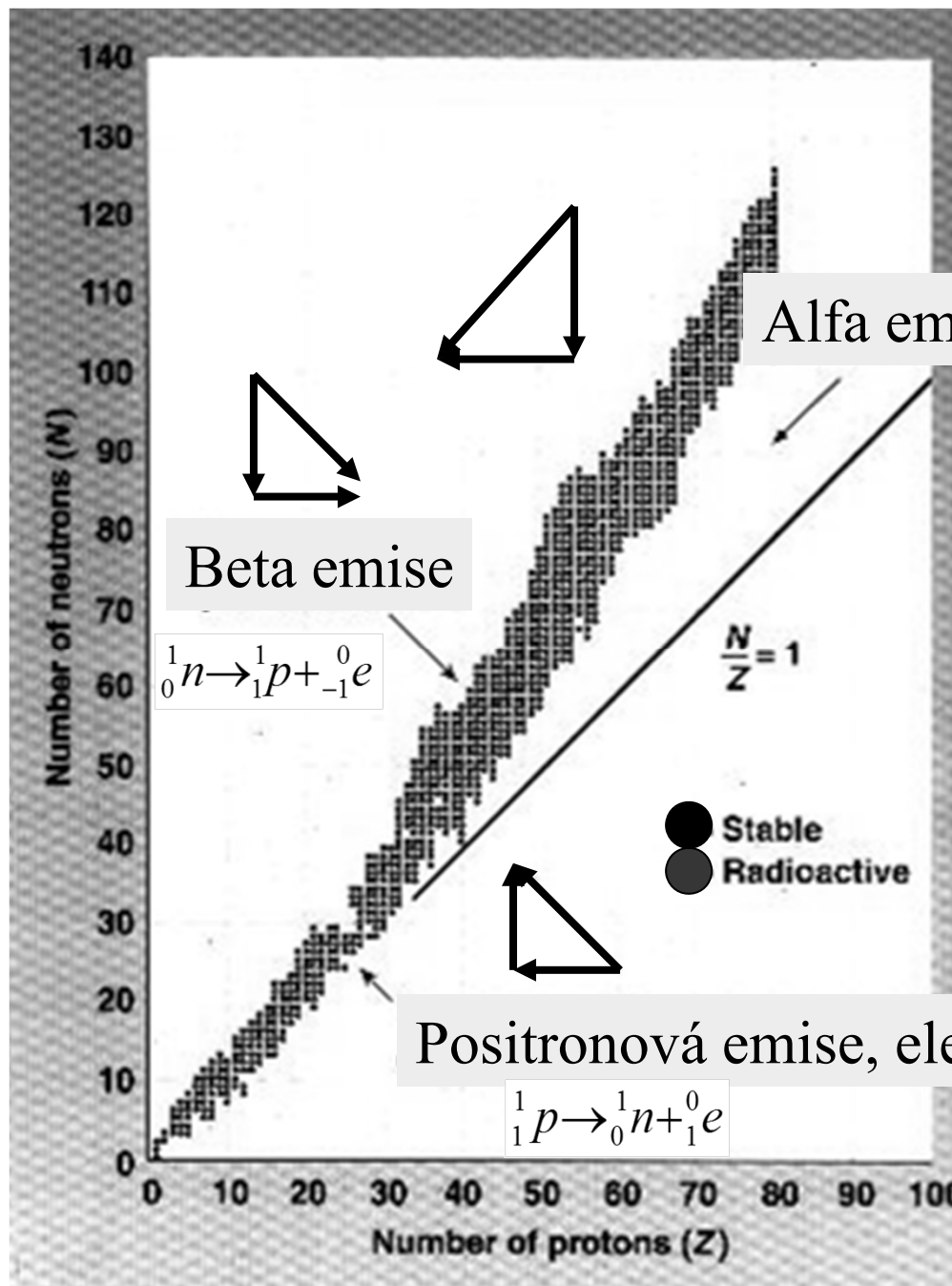
Vápník-41

Kobalt-57

Selen-72



Posun v periodické tabulce o jeden prvek doleva



# Rozpadové řady

Thoriová  $^{232}\text{Th}$  -  $^{208}\text{Pb}$

$$A = 4n$$

Neptuniová (umělá)  $^{241}\text{Pu}$  -  $^{209}\text{Bi}$

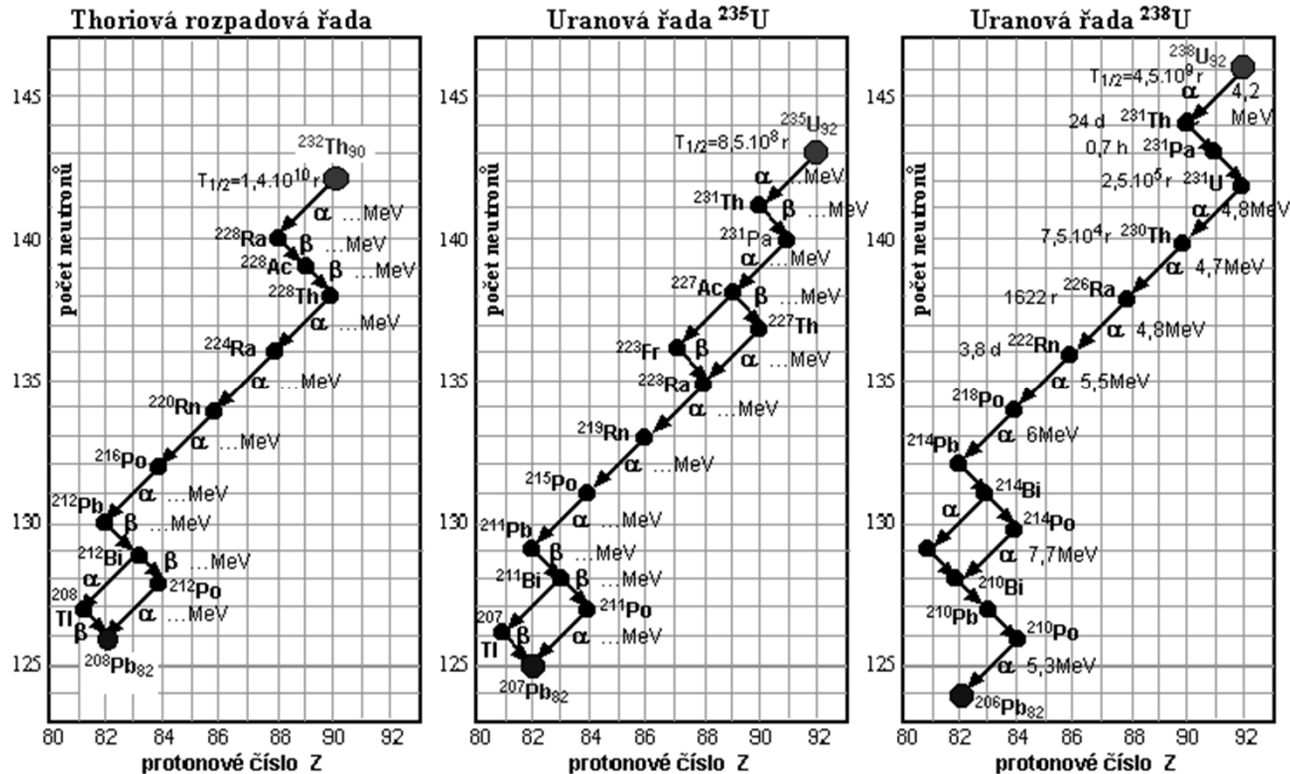
$$A = 4n + 1$$

Uranová  $^{238}\text{U}$  -  $^{206}\text{Pb}$

$$A = 4n + 2$$

Aktinuranová  $^{235}\text{U}$  -  $^{207}\text{Pb}$

$$A = 4n + 3$$



## Samovolné štěpení

Těžké jádro se rozpadá na dva nebo tři fragmenty a jeden nebo více neutronů



$^{252}\text{Cf}$  - průmyslová výroba (ORNL: 0,25 g/rok) a využití

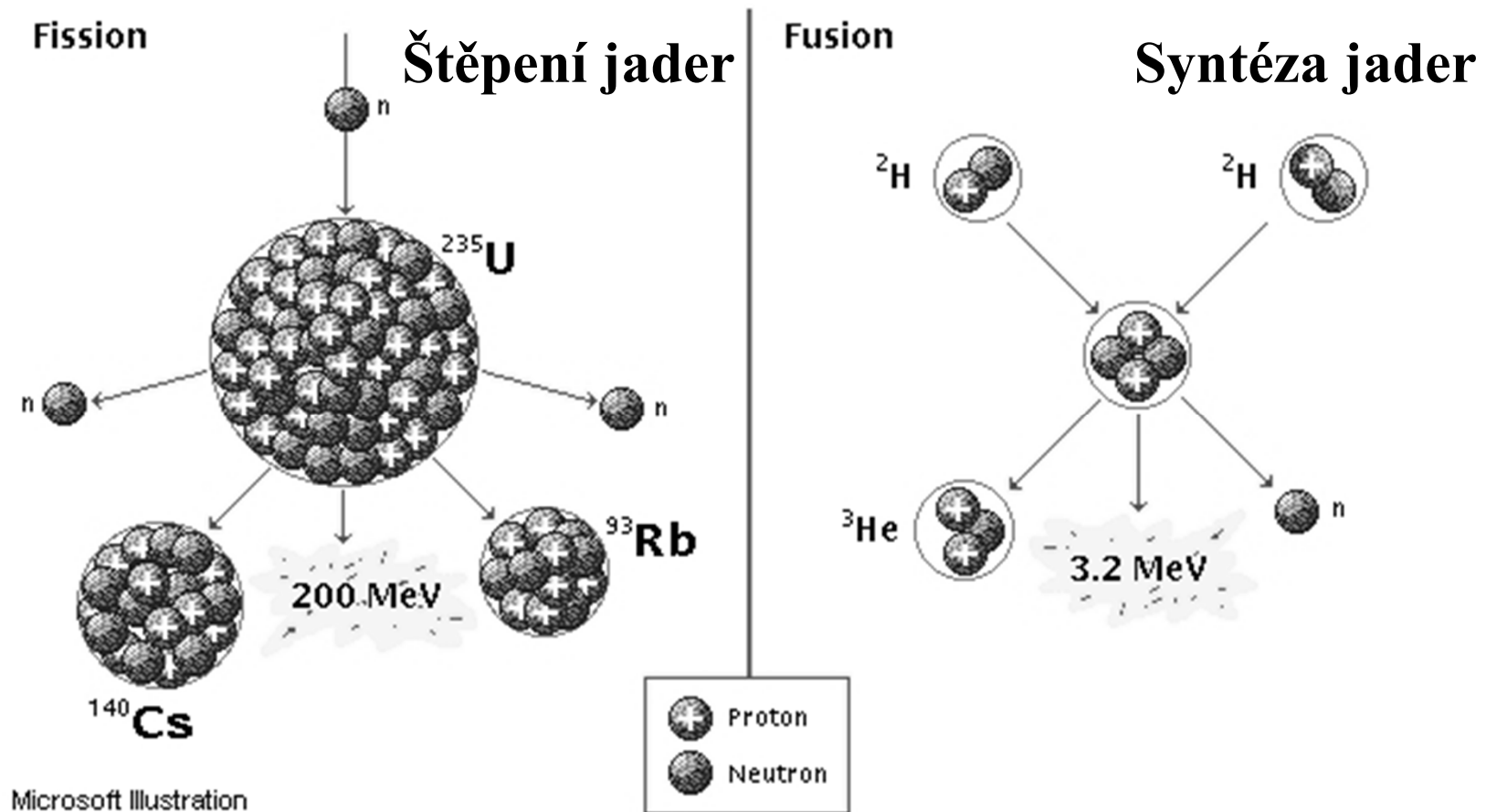
- Alfa-emise 97 %
- Samovolné štěpení 3 % (~3,7 neutronu)

Poločas rozpadu 2,65 let

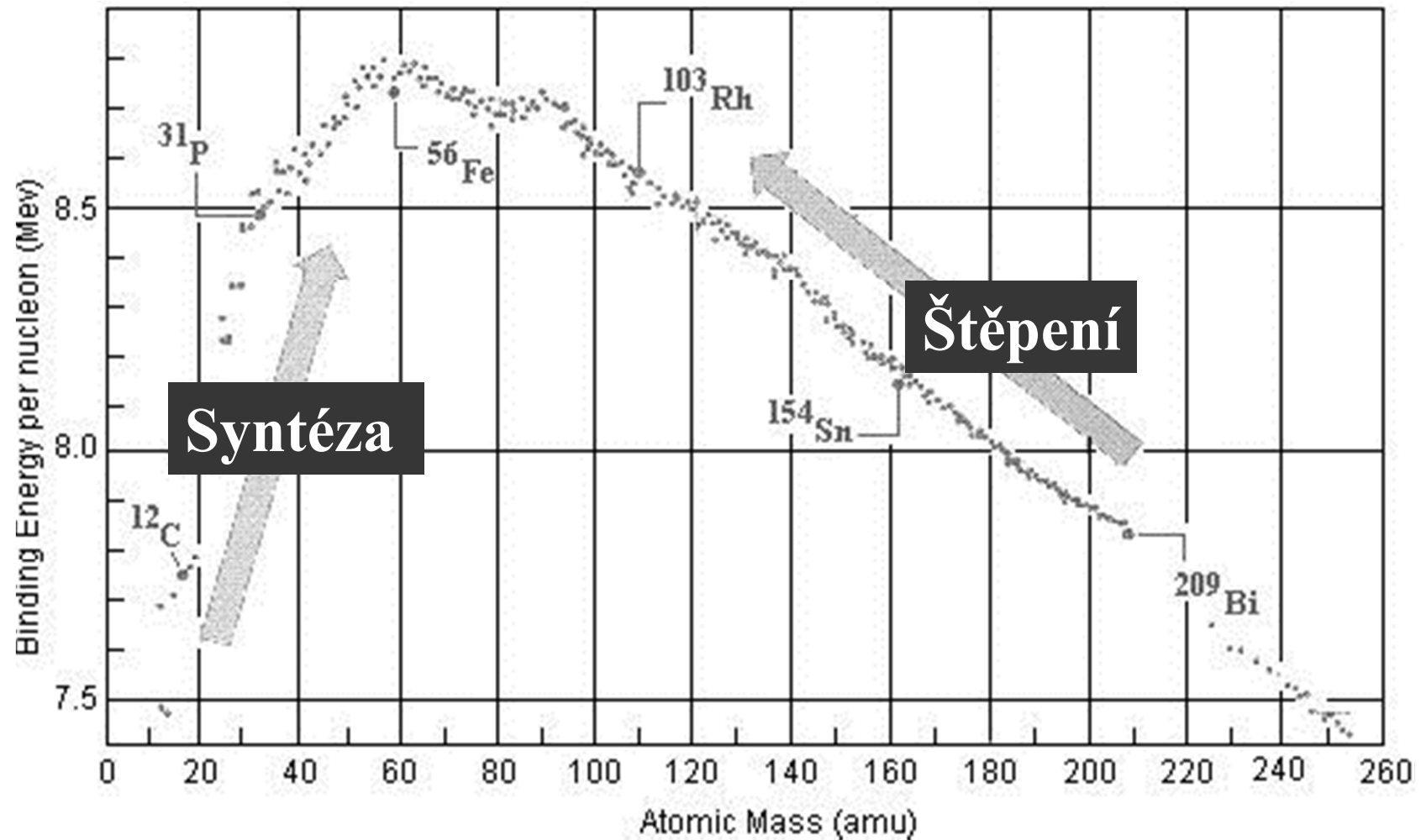
Zdroj neutronů pro start reaktorů, aktivační analýzu, difrakci, detektory zlata, výbušnin, vody a ropy, terapii rakoviny, BNCT<sup>37</sup>

# Syntéza a štěpení jader

Pro získání energie



# Syntéza a štěpení jader - vazebná energie jádra



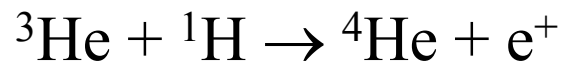
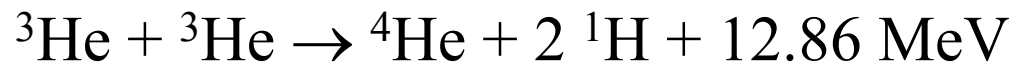
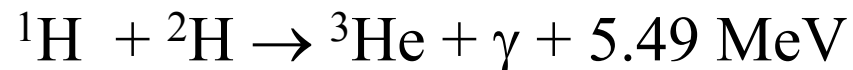
# Syntéza jader ve vesmíru

Big Bang

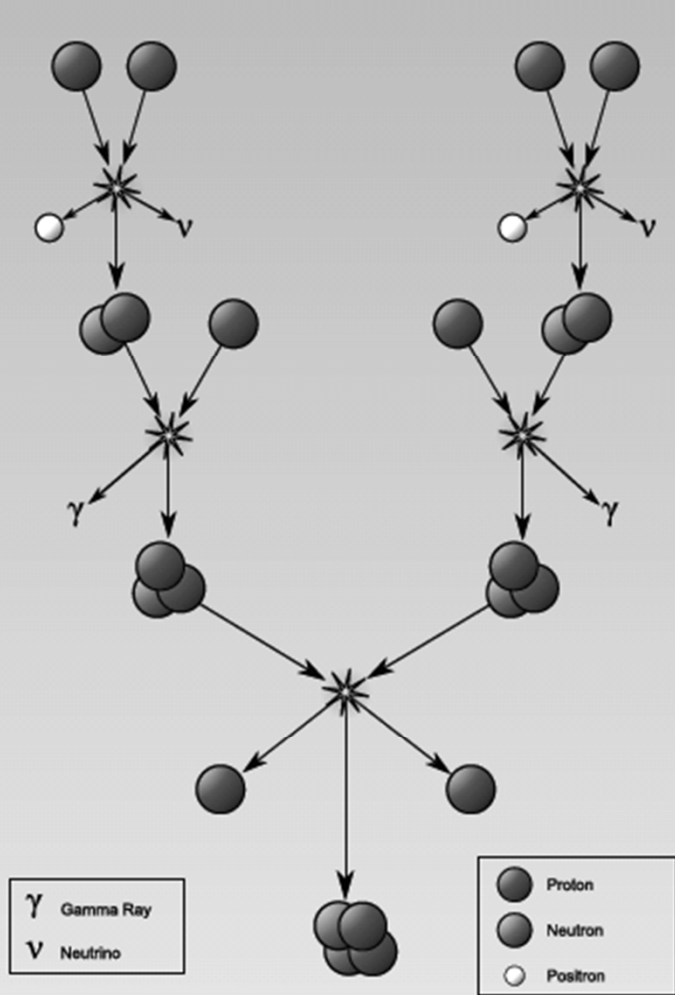


Slunce (teplota =  $2 \times 10^6$  K v nitru, energie z PP nebo CN cyklu)

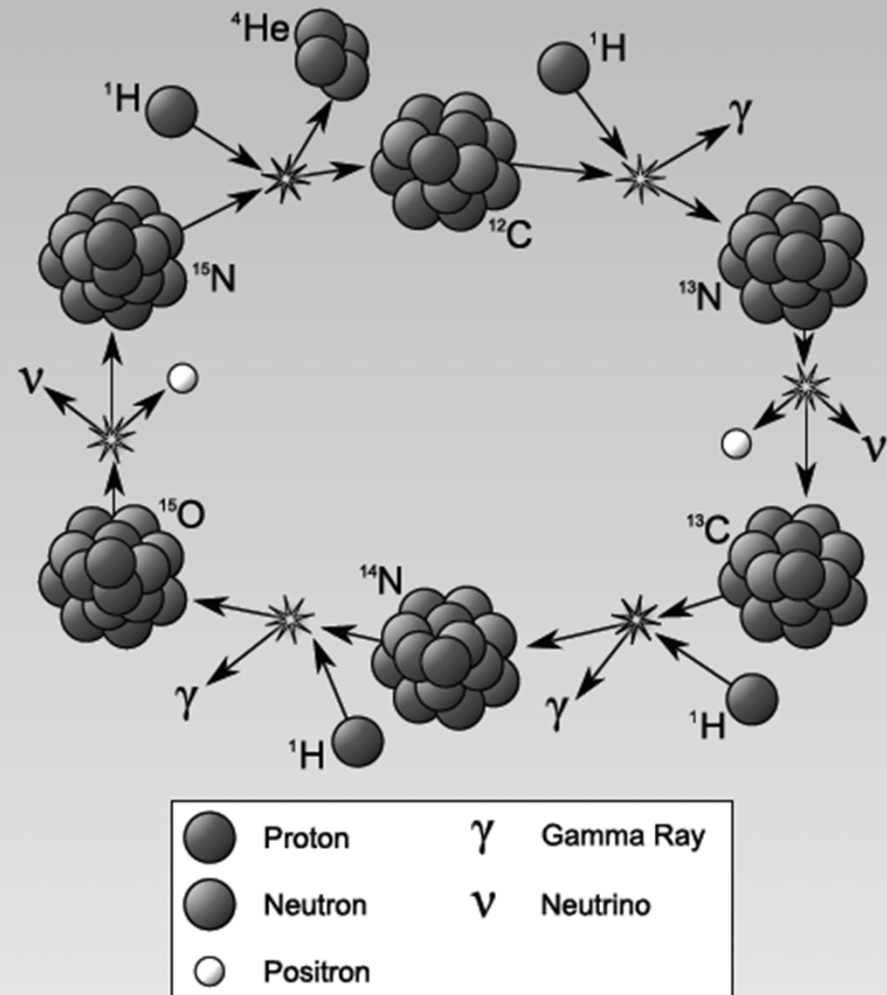
PP cyklus



## PP cyklus



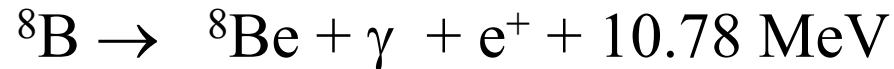
## CN cyklus





## Syntéza jader ve vesmíru

Slunce → rudý obr → bílý trpaslík



# Syntéza jader ve vesmíru

Těžké hvězdy

$^{12}\text{C} \rightarrow \text{Ne, Mg}$

$^{16}\text{O} \rightarrow \text{Si, S}$

$\text{Si} \rightarrow ^{58}\text{Fe}$

Fe jádra nejstabilnější

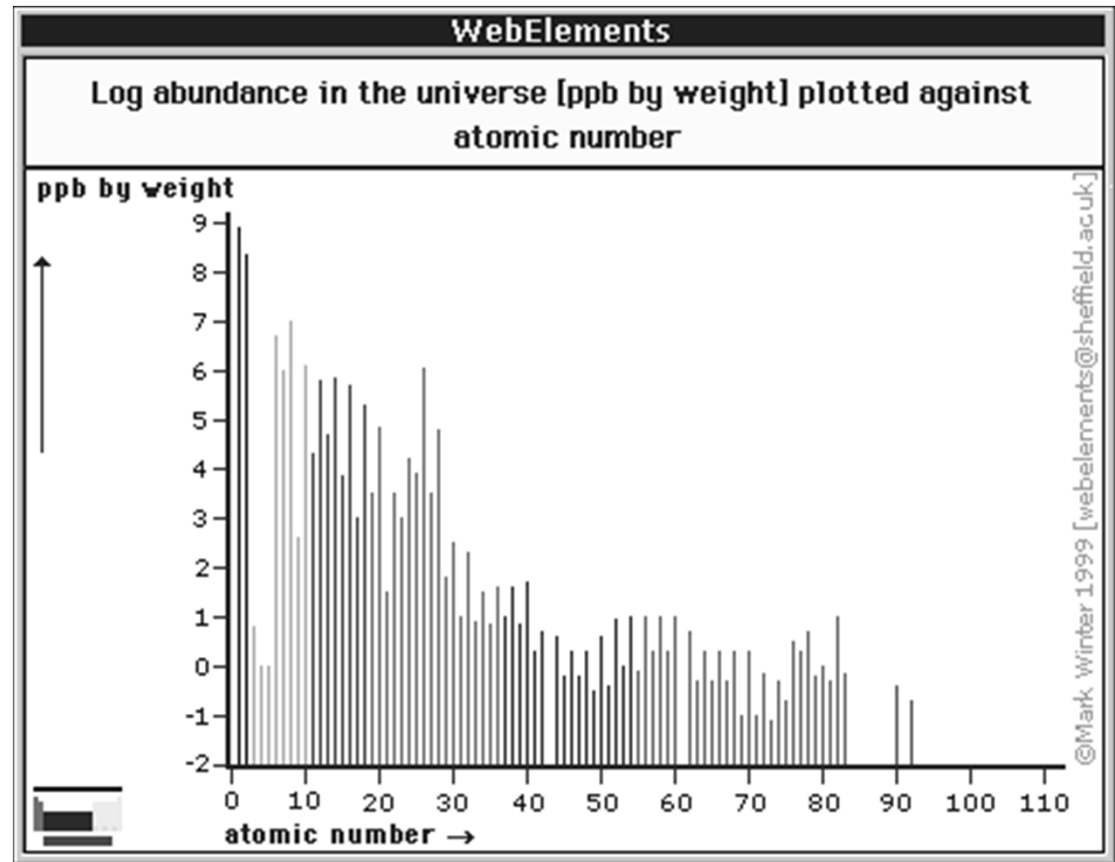
Jak dál?

Vysoké toky neutronů

$\text{Fe} + \text{n} \rightarrow \text{Au} \rightarrow \text{Pb} \rightarrow \text{Bi}$

Výbuch supernovy

$\text{Pb} \rightarrow \text{Bi} \rightarrow \text{U}$



## Termojaderné reakce

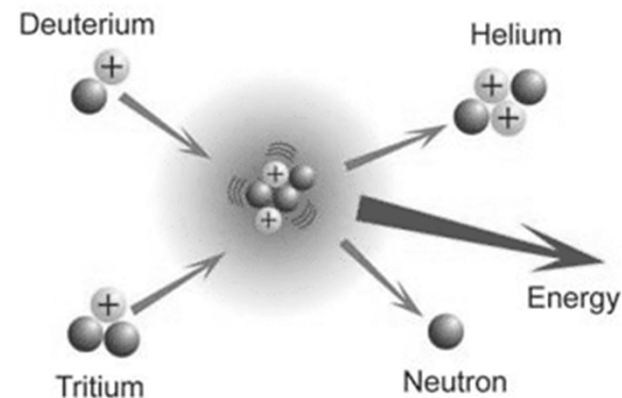


A další...

ITER Cadarache, Francie

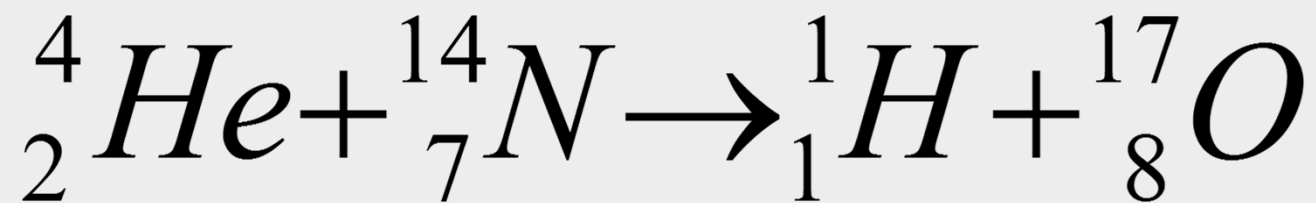
National Ignition Facility, USA

1952 H-bomba Eniwetok

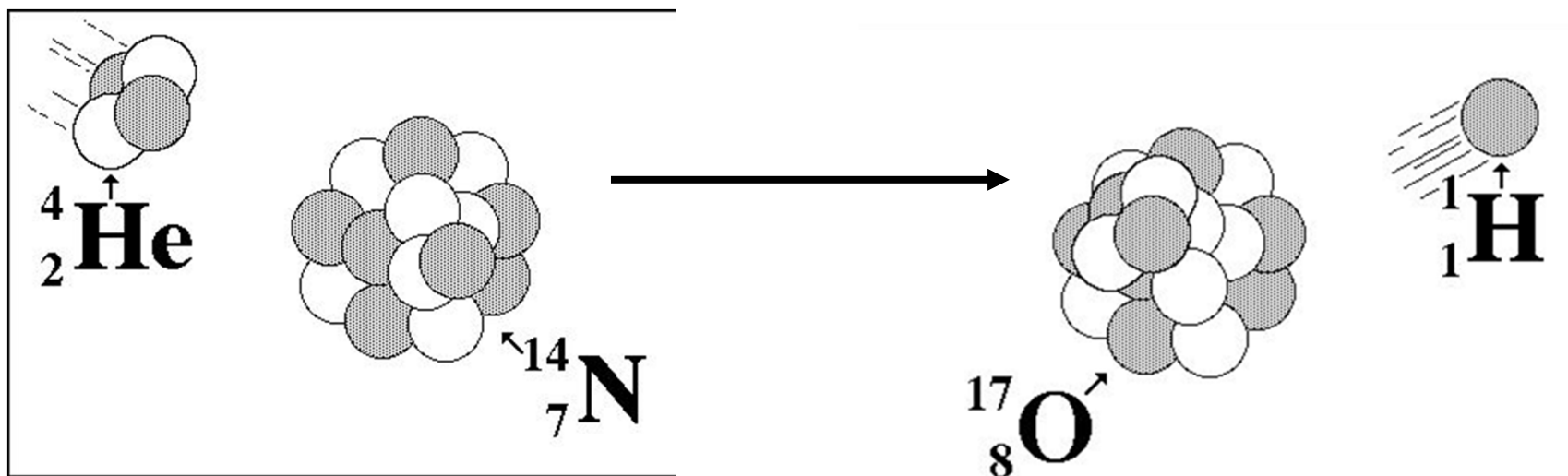


# Transmutace

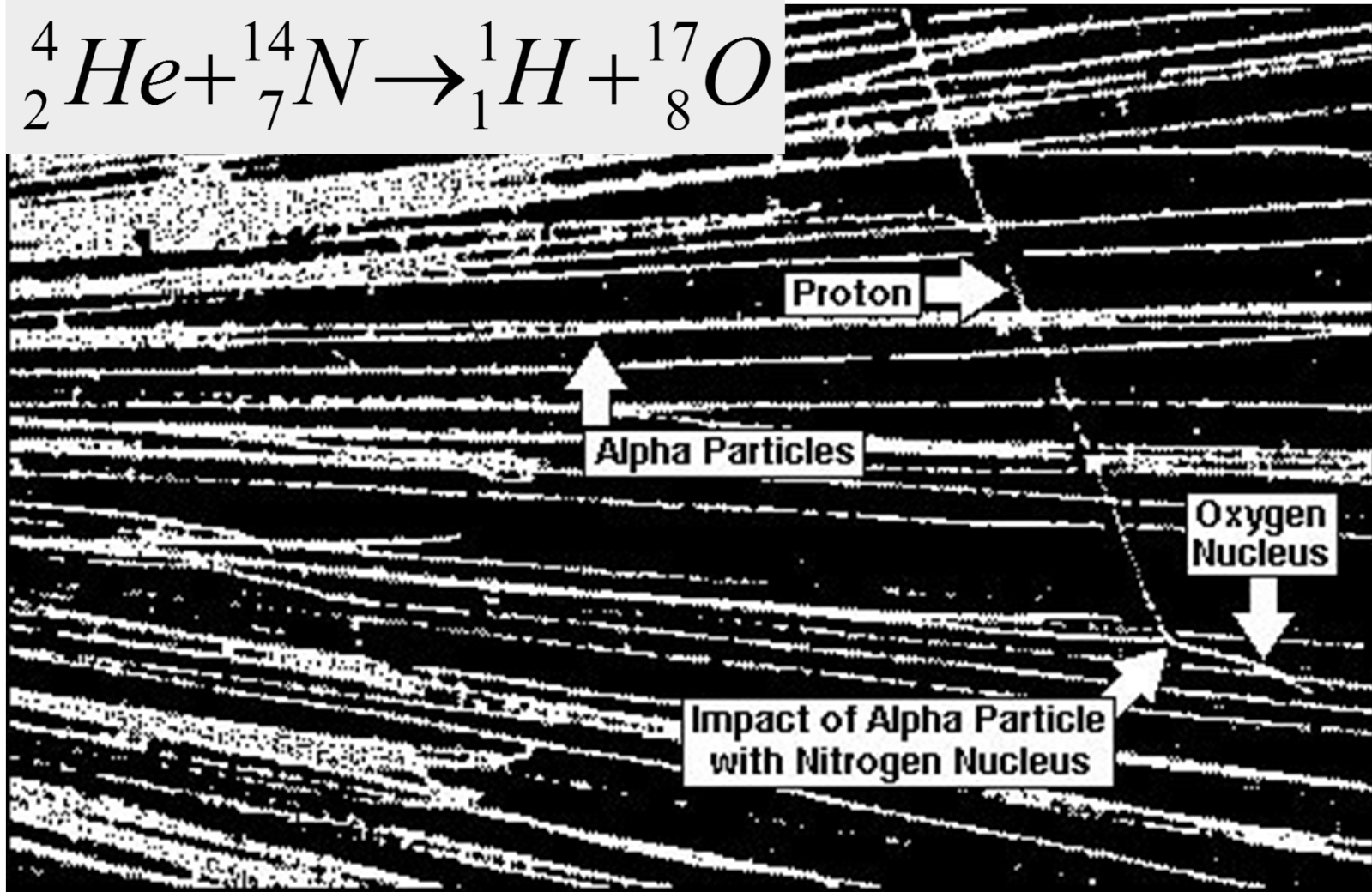
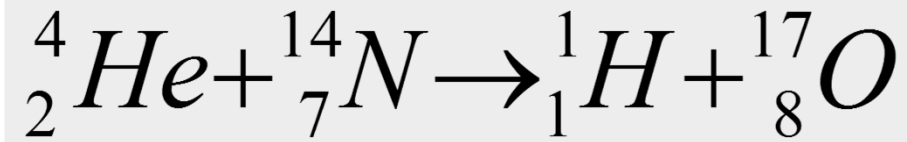
1919, Rutherford, první umělá příprava prvku



ekvivalentní zápis jaderné rovnice  ${}^{14}\text{N}(\alpha, p){}^{17}\text{O}$



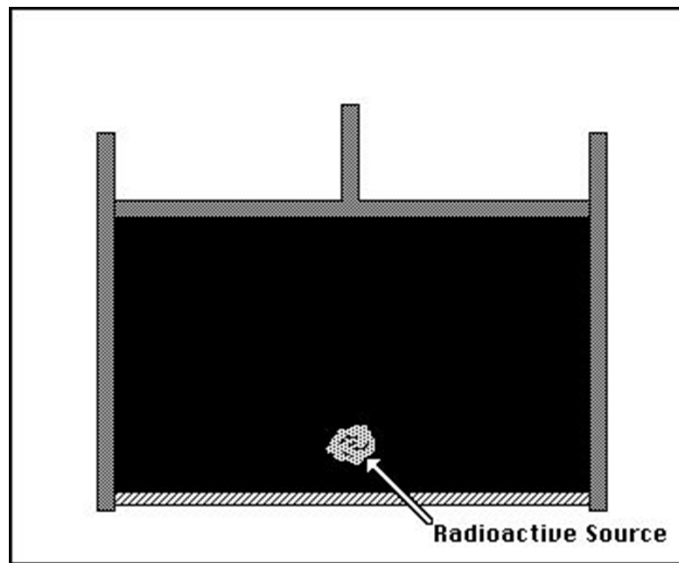
## Transmutace



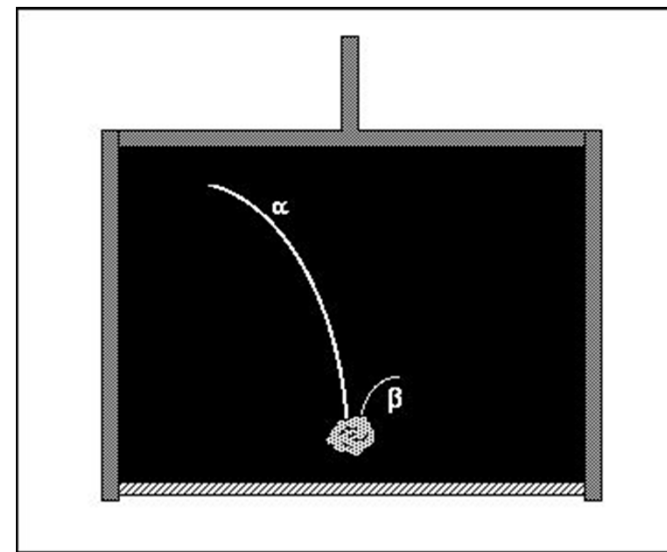


## Wilsonova mlžná komora

Charles Wilson (1869-1959) NP za fyziku 1923



Plyn (vzduch, He, Ar,...)  
a páry vody nebo alkoholu v  
komoře se zářičem, píst pro  
změnu objemu



Expanze, ochlazení, vznik  
přesycené páry, částice při  
průletu ionizují okolní atomy,  
kondenzace na ionizovaných<sub>48</sub>  
atomech – kondenzační stopa

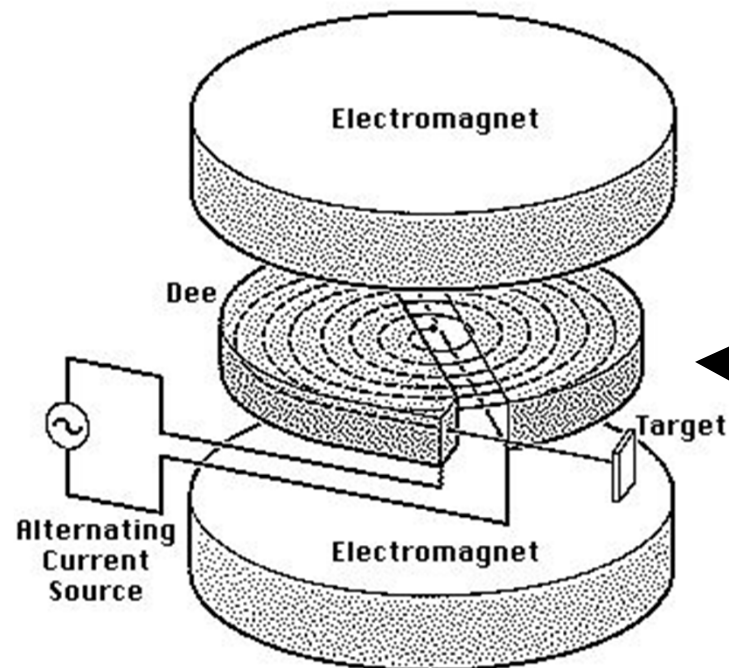
1929

## Cyklotron

urychlovač pozitivních iontů ( $H^+$ ,  $D^+$ , ...)  
přechod potenciálovým rozdílem,  
střídavé poz/neg nabíjení D elektrod,  
kruhový pohyb v magnetickém poli,  
energie do 100 MeV

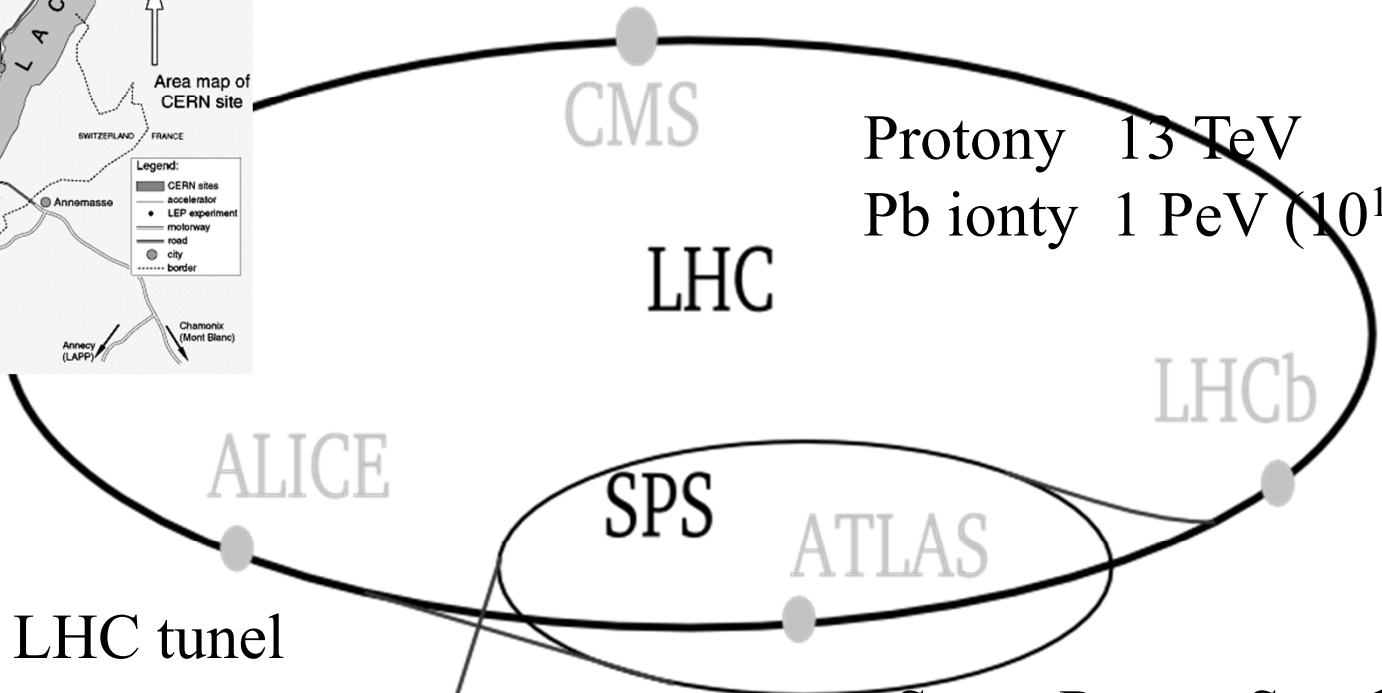


Ernest O. Lawrence  
(1901-1958)  
NP za fyziku 1939



← duté elektrody tvaru D

# Large Hadron Collider

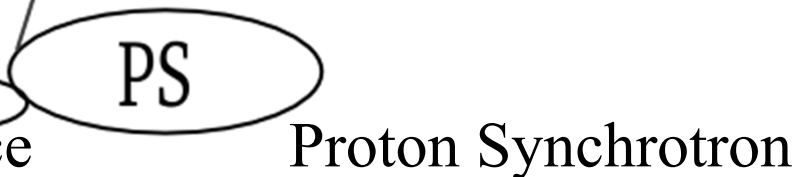


Protony 13 TeV  
 Pb ionty 1 PeV ( $10^{15}$  eV)

27 km LHC tunel

Super Proton Synchrotron

Lineární urychlovače  
 (protony a ionty)



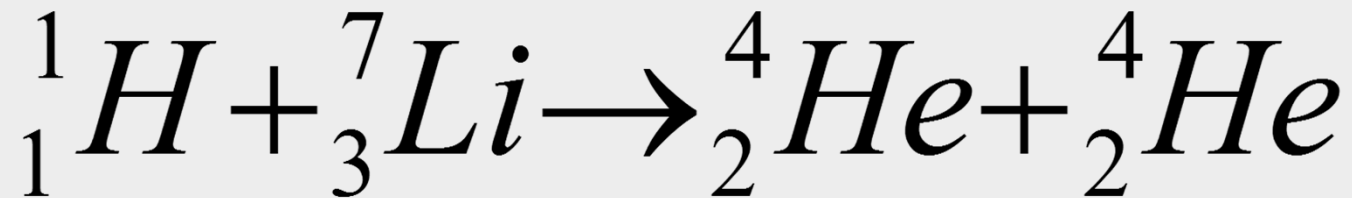
## Štěpení jader

1932

John D. Cockcroft (1897-1967) a Ernest T. S. Walton (1903-1995)

Kaskádový urychlovač, protony 800 keV

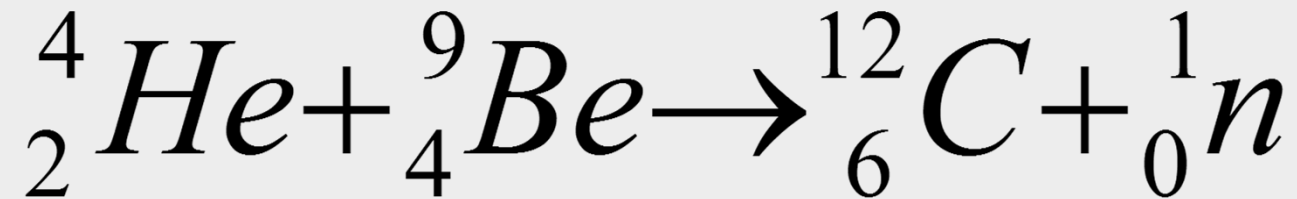
První štěpení stabilního jádra urychlenou částicí



1951 společně NP za fyziku

1932

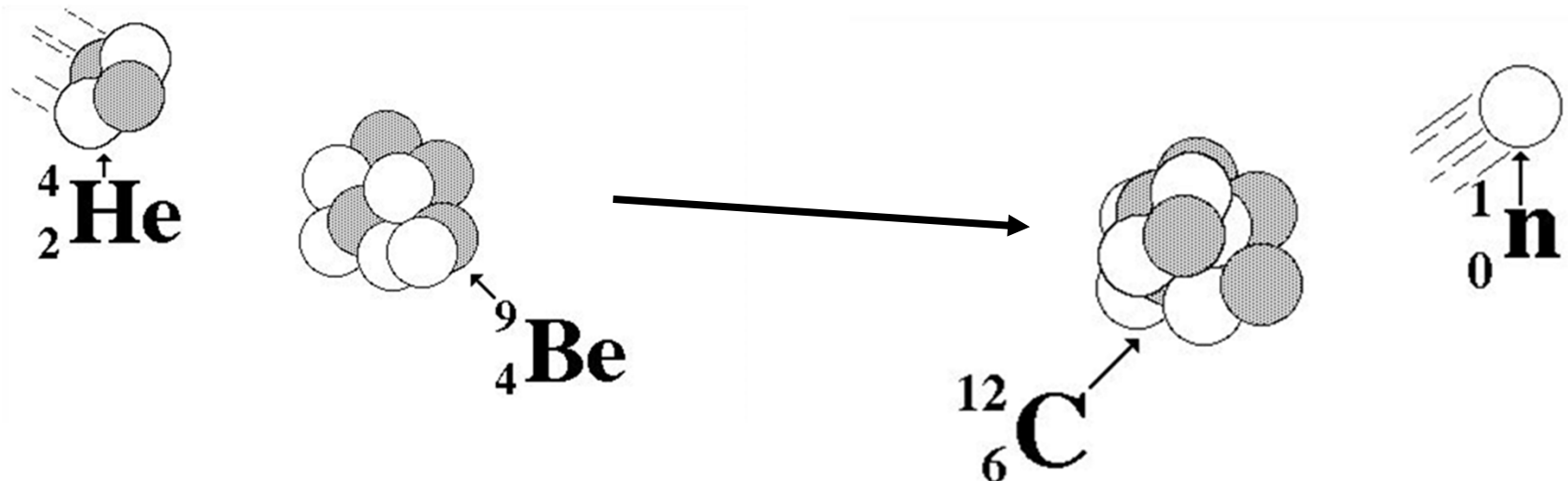
## Objev neutronu



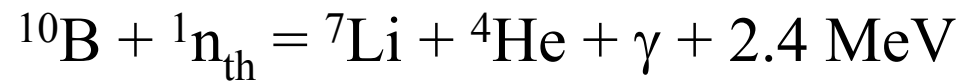
neutron = částice s nulovým nábojem, spin  $\frac{1}{2}$   
 $m = 1,67470 \cdot 10^{-27} \text{ kg}$

James Chadwick  
(1891-1974)

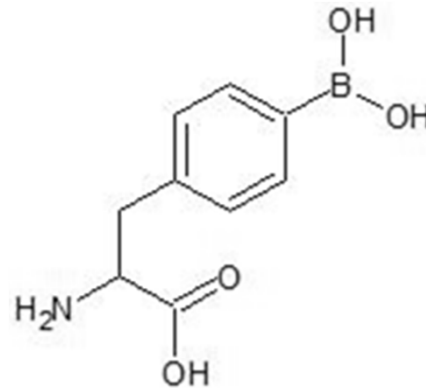
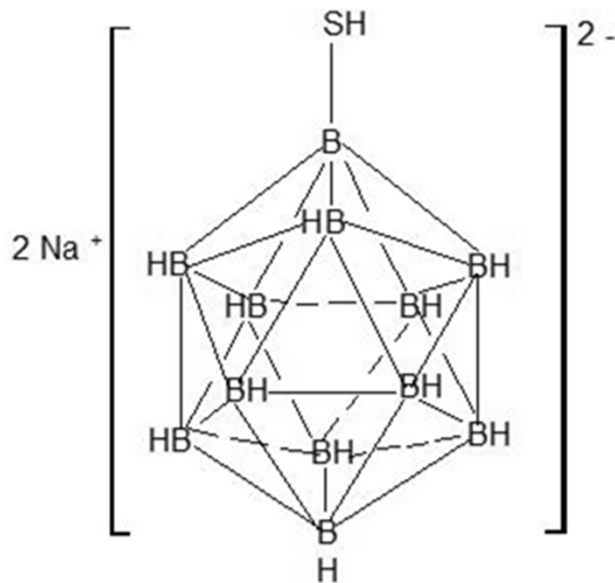
NP za fyziku 1935



# BNCT = Boron Neutron Capture Therapy



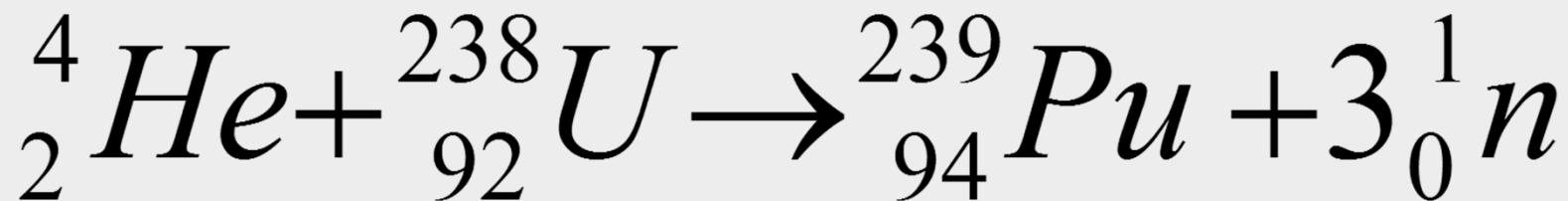
Dolet v tkáni asi 12  $\mu\text{m}$  – průměr buňky



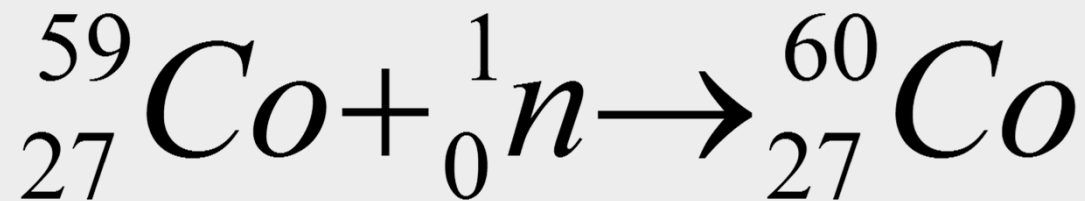
Akumulace v tumoru  
(20  $\mu\text{g/g}$  tumoru)

## Transmutace

Cyklotron



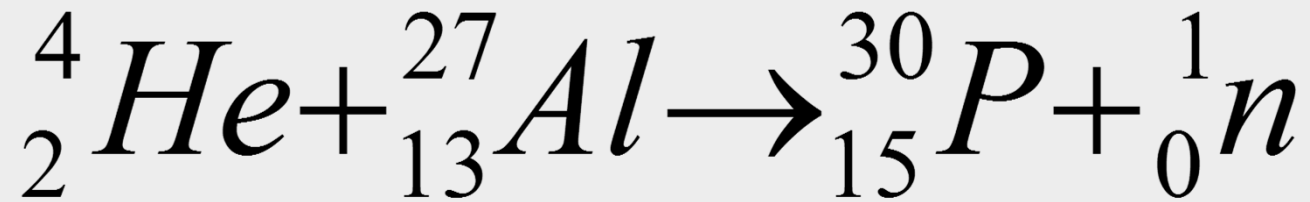
Bombardování neutrony

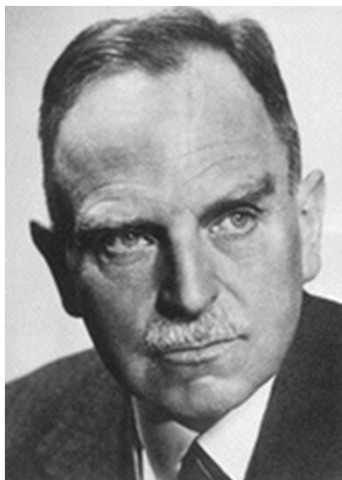


1933

## Umělá radioaktivita

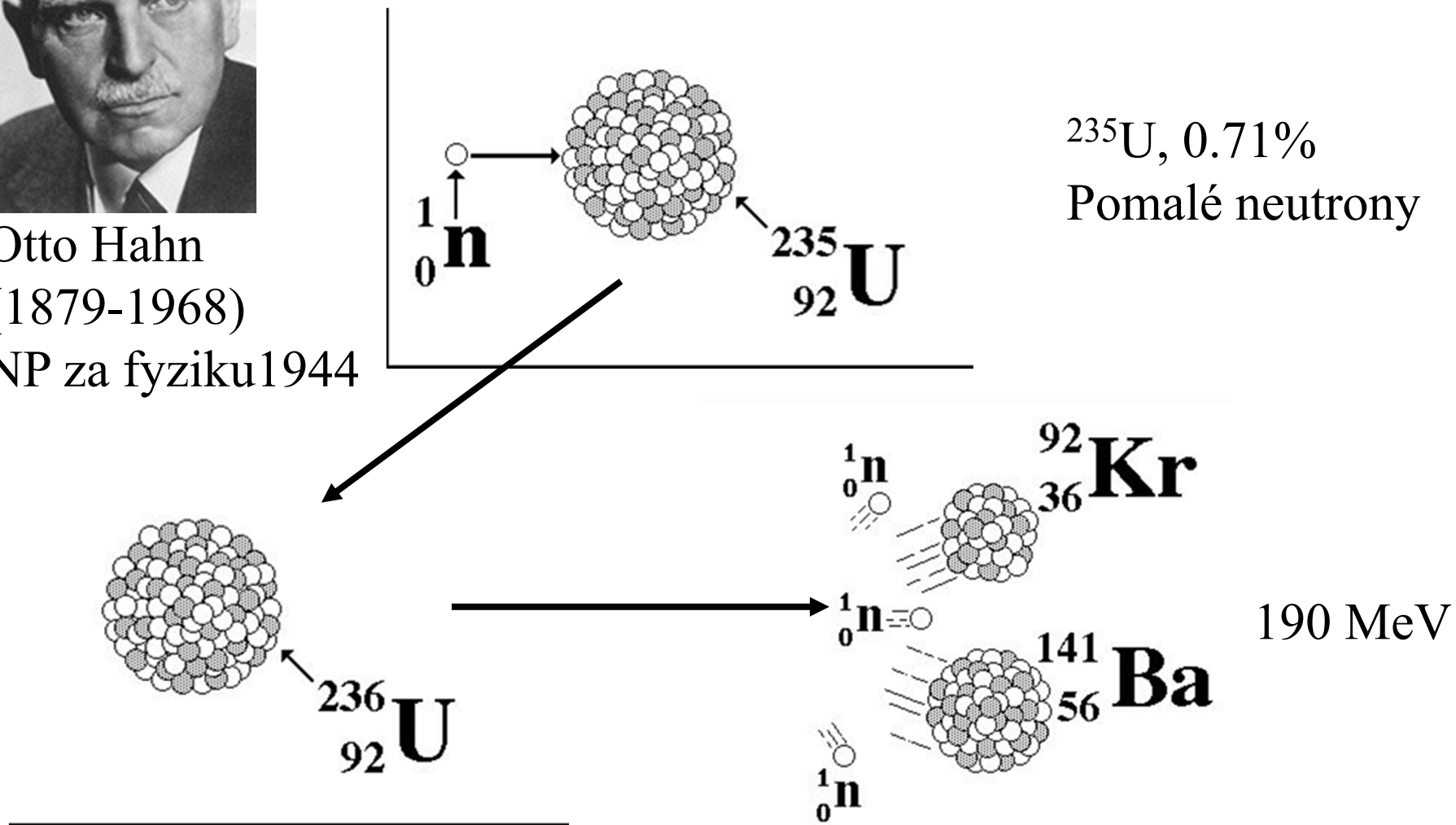
Frederic and Irene Joliot-Curie  
(1900-1958) (1897-1956)





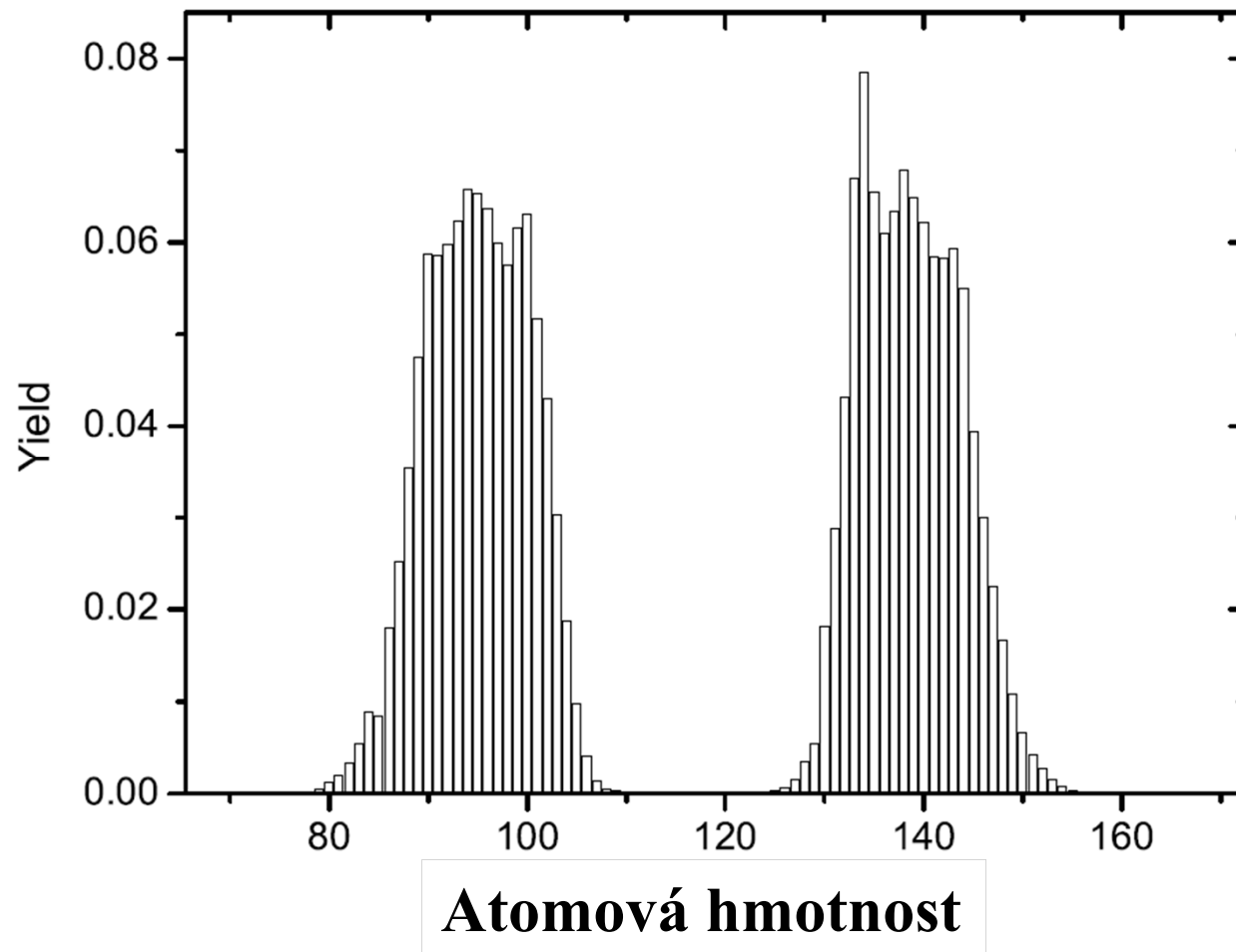
Otto Hahn  
(1879-1968)  
NP za fyziku 1944

# Štěpení jader

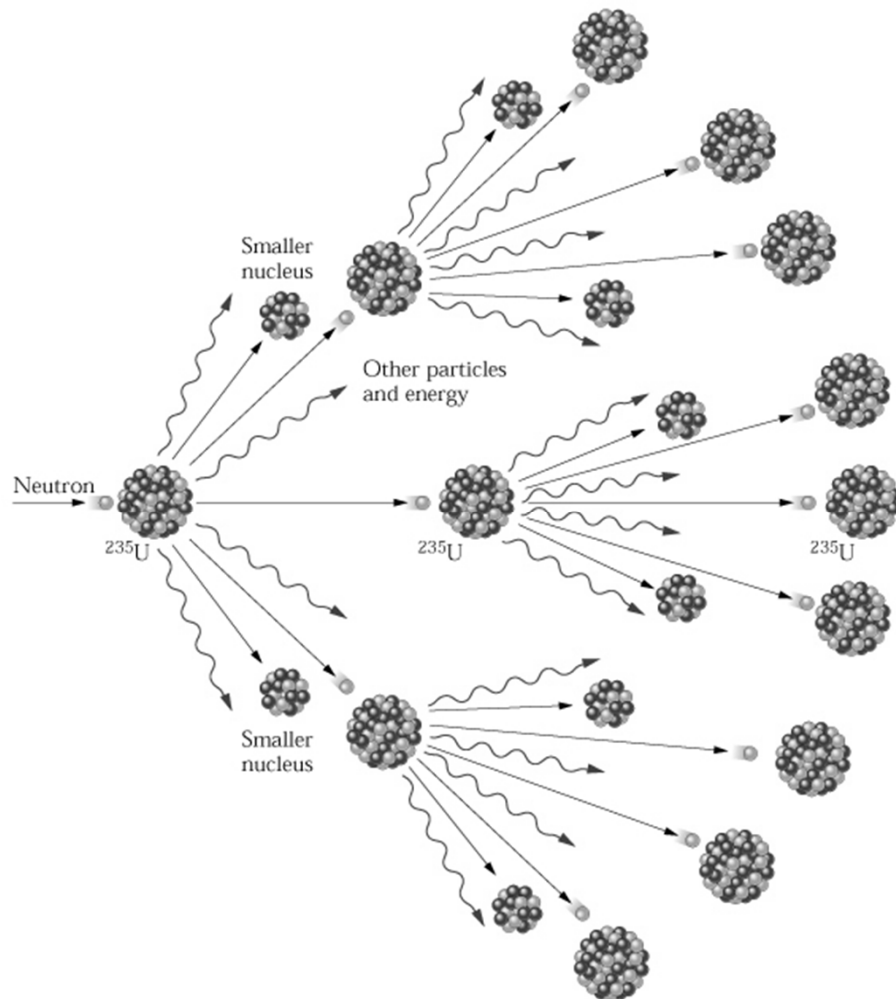


# Štěpení $^{235}\text{U}$

Rozložení výtěžku štěpných produktů pro  $^{235}\text{U}$ .



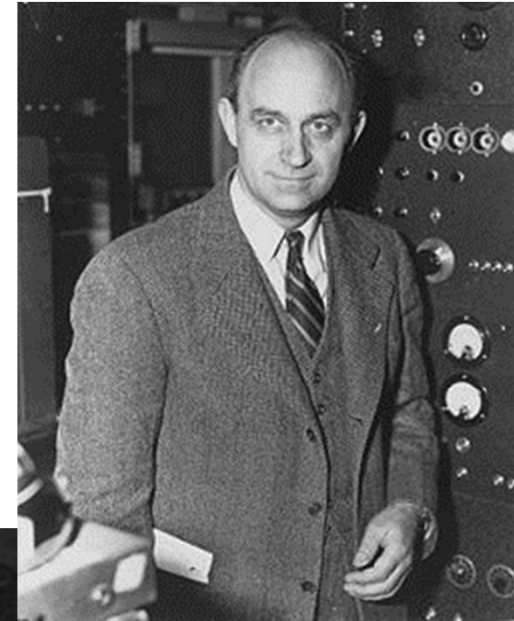
# Řetězová reakce neřízená



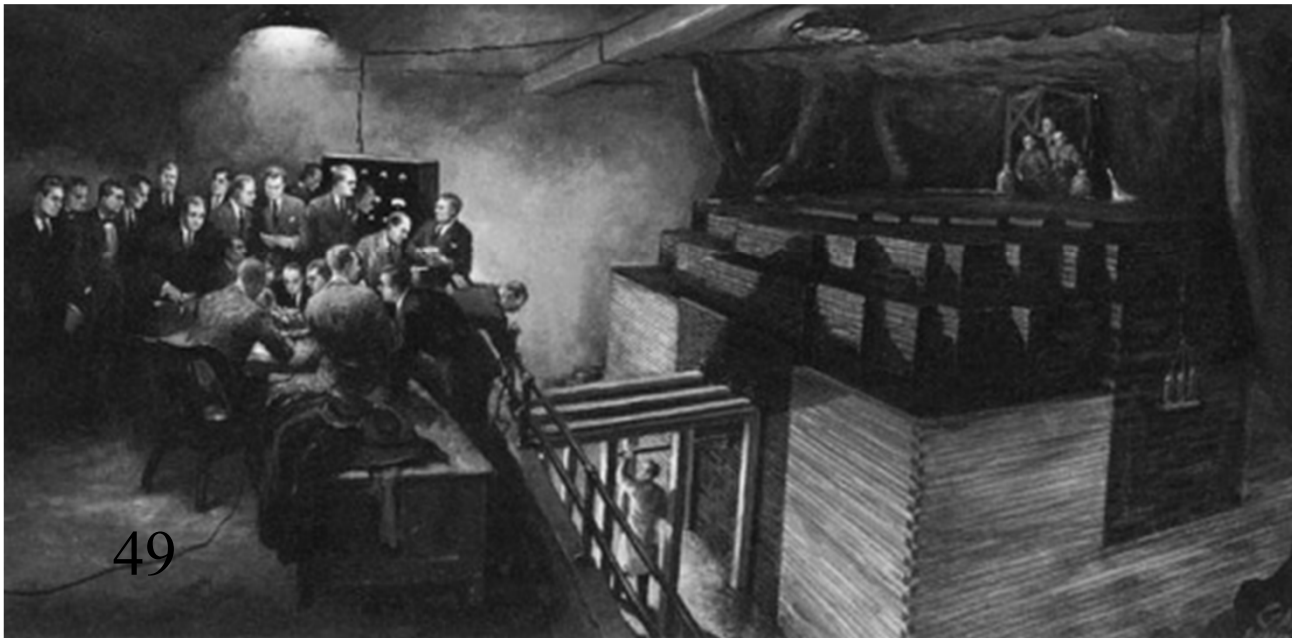
# Jaderný reaktor

1942 Chicago Pile - 1

První řízená štěpná reakce  $^{235}\text{U}$

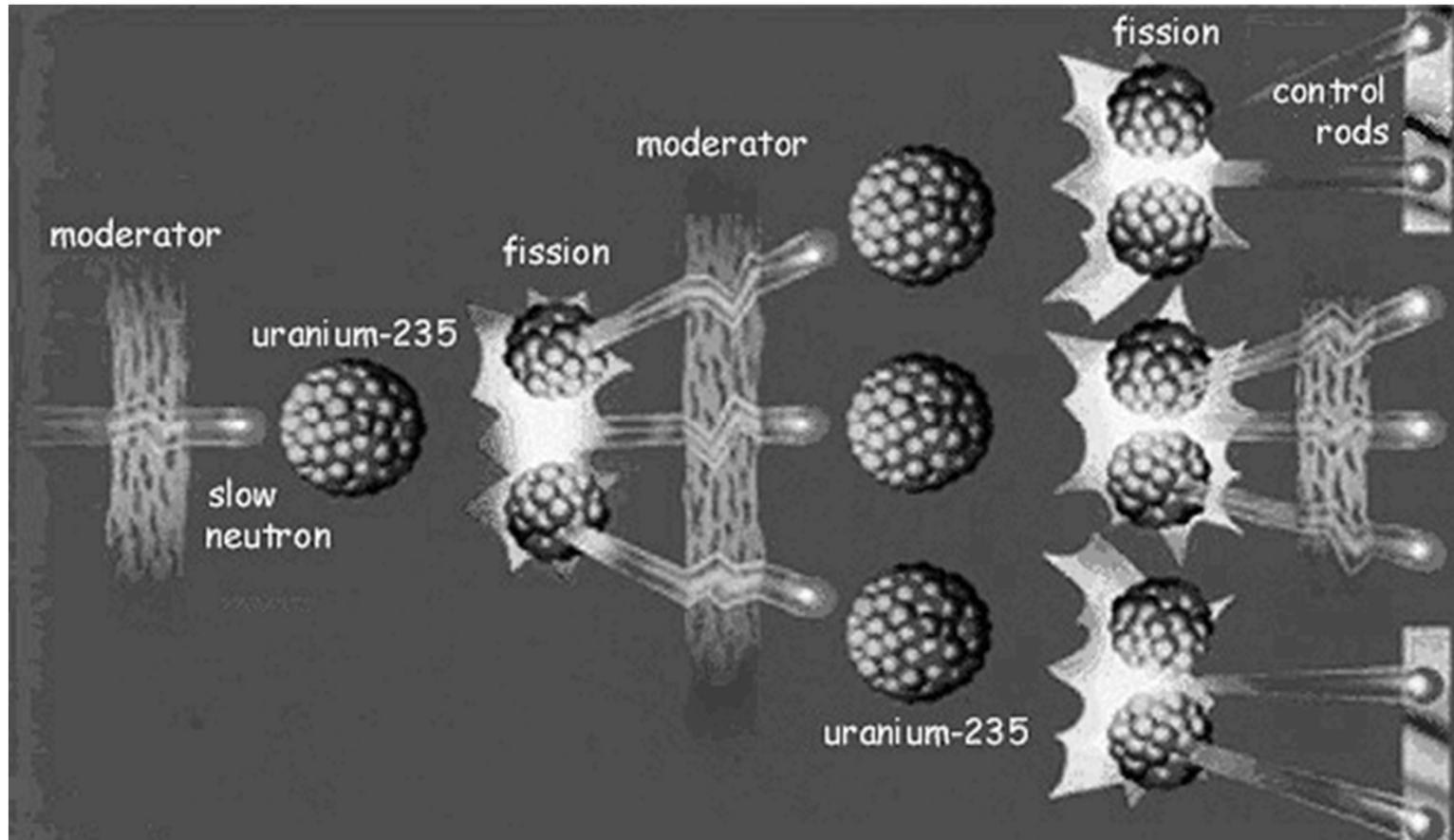


Enrico Fermi  
(1901-1954)  
NP za fyziku 1938



49

# Řízená štěpná reakce $^{235}\text{U}$



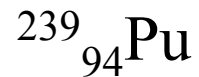
Moderátor = zpomalení neutronů – grafit  
Cd dobře pohlcuje neutrony – zachycení n

# Transurany

Do 1940 nejtěžší přírodní prvek  $Z = 92$  (U)  
Prvky  $Z \geq 93$  (Np) transurany pouze umělé

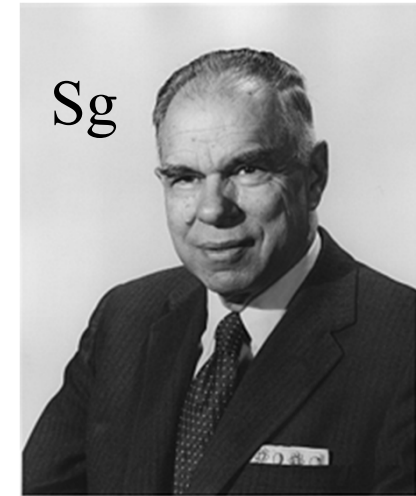
1940 První umělý transuran =  $^{239}_{93}\text{Np}$

## bombardování neutrony

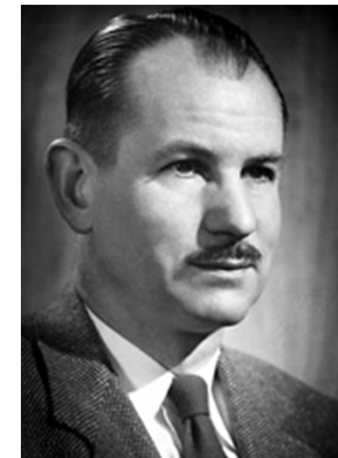


Adresa Glenna Seaborga  
Sg, Lr, Lv, Bk, Cf, Am

90	91	92	93	94	95	96	97	98	99	100	101	102	103
Th	Pa	U	Np	Pu	Am	Cm	Bk	Cf	Es	Fm	Md	No	Lr
Thorium	Protactinium	Uranium	Neptunium	Plutonium	Americium	Curium	Berkelium	Californium	Einsteinium	Fermium	Mendelevium	Nobelium	Lanthanum



Glenn T. Seaborg  
(1912-1999)



Sdílená NP  
za chemii 1951

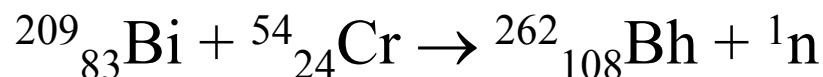
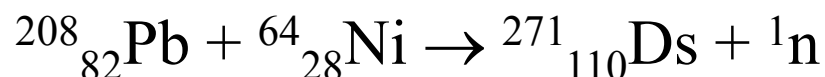
Edwin M. McMillan  
(1907-1991) 61

## Syntéza transuranů

### Bombardování kladnými ionty

$^4\text{He}$ ,  $^{12}\text{C}$ ,  $^{15}\text{N}$ ,  $^{18}\text{O}$ , ...

připraveny transurany po  $Z = 118$



- Spojený ústav jaderných výzkumů, Dubna, Rusko
- GSI (Gesellschaft für Schwerionenforschung), Německo
- Lawrence Berkeley and Livermore National Laboratories, CA, USA
- RIKEN Nishina Center for Accelerator-Based Science, Japonsko

## Syntéza transuranů

### Bombardování kladnými ionty

${}^4\text{He}$ ,  ${}^{12}\text{C}$ ,  ${}^{15}\text{N}$ ,  ${}^{18}\text{O}$ , ...  ${}^{70}\text{Zn}$

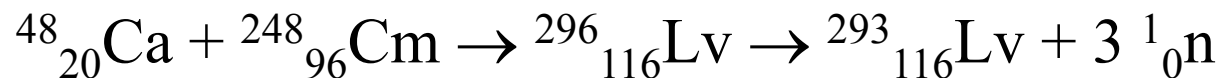
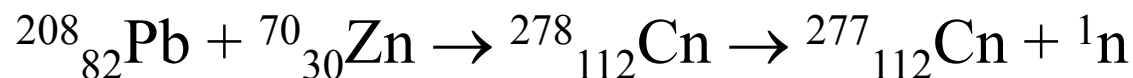
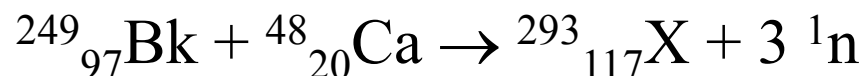
připraveny transurany po  $Z = 118$

Nihonium Nh, 113

Moscovium Mc, 115

Tennessine Ts, 117

Oganesson Og, 118



# Kinetika radioaktivního rozpadu

$$-dN/dt = k N$$

$$dN/N = -k dt$$

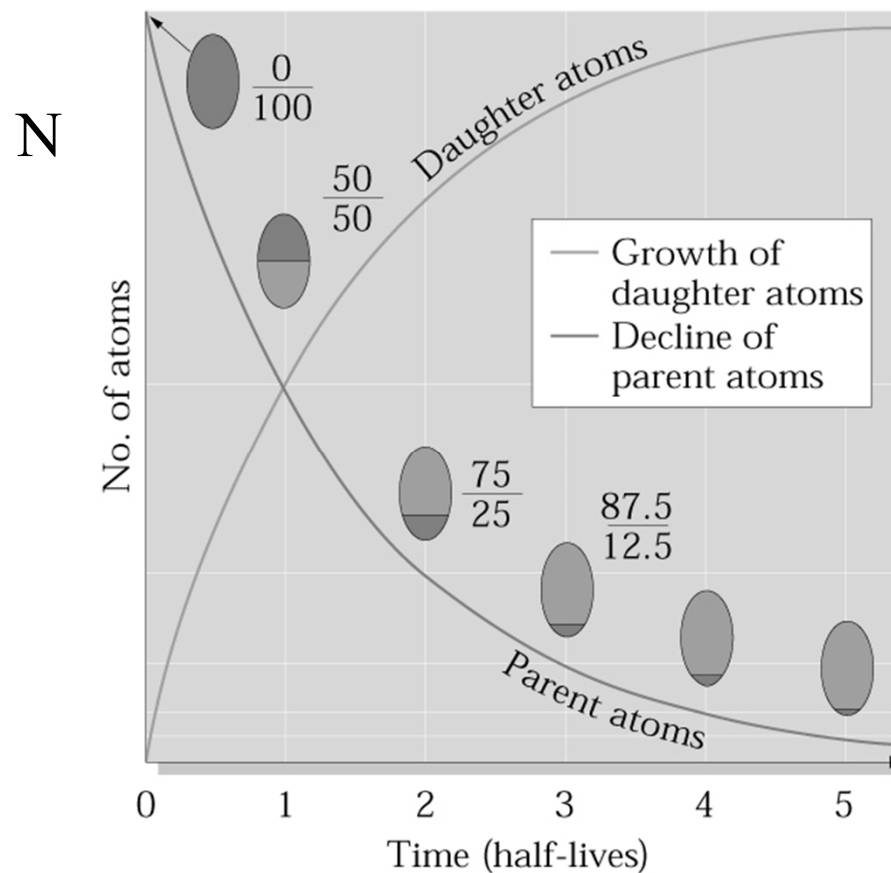
Integrace

$$t = 0 \quad N = N_0$$

$$\ln(N/N_0) = -k t$$

$$N/N_0 = \exp(-k t)$$

$$N = N_0 \exp(-k t)$$



Copyright 1999 John Wiley and Sons, Inc. All rights reserved.

## Poločas rozpadu, $t_{1/2}$

$$t = t_{1/2} \quad N = N_0/2$$

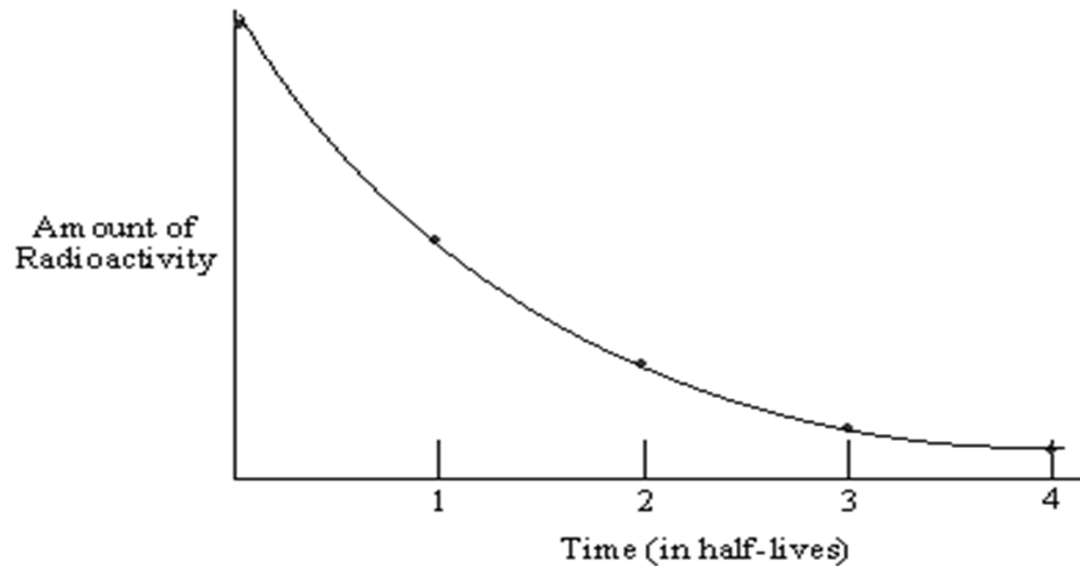
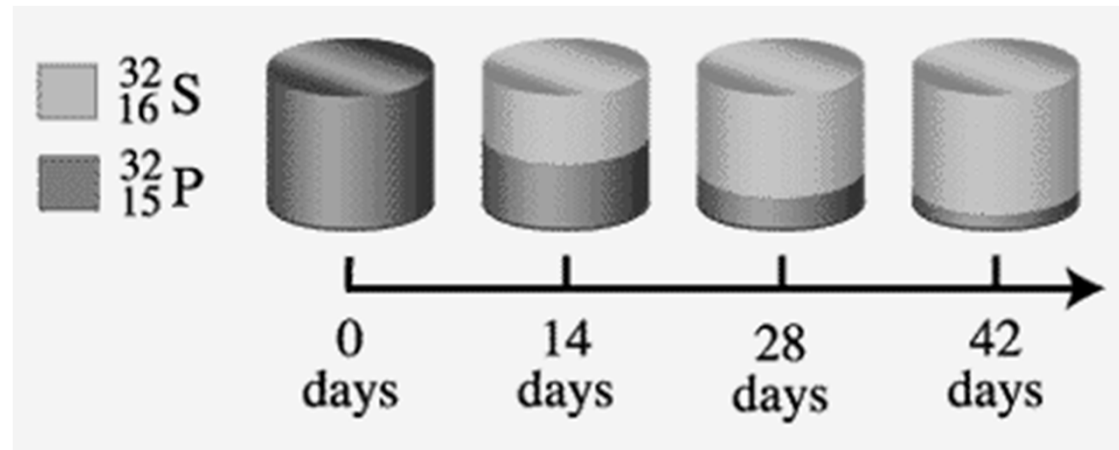
$$\ln(N/N_0) = -k t$$

$$\ln(1/2) = -k t_{1/2}$$

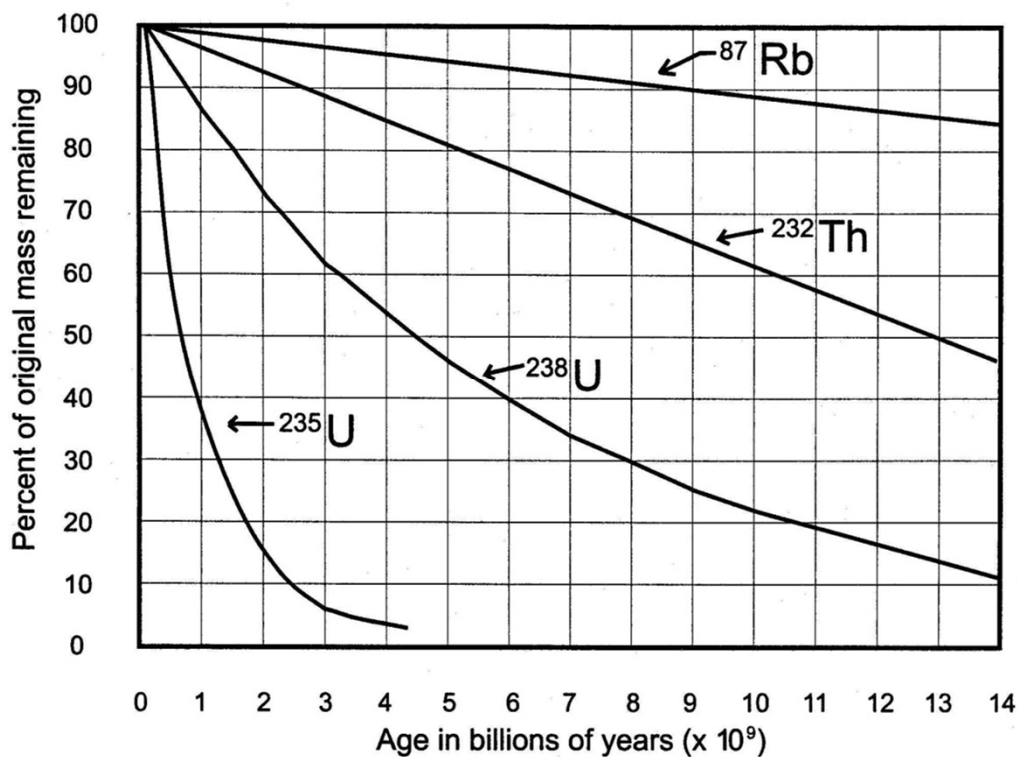
$$t_{1/2} = \ln(2) / k$$

$$k = \ln(2) / t_{1/2}$$

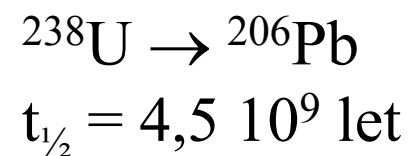
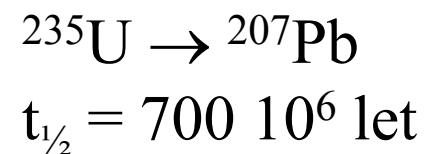
$$\ln(N/N_0) = -t \ln(2) / t_{1/2}$$



## Poločas rozpadu - Radiometrické datování

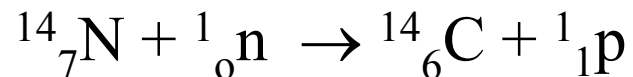


Radiometrické  
datování stáří  
hornin v geologii a  
paleontologii

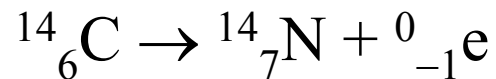


## Datování pomocí $^{14}\text{C}$

$^{14}\text{C}$  vzniká kontinuálně vysoko v atmosféře (15 km) dopadem kosmického záření



Rozpadá se beta rozpadem s poločasem  $t_{1/2} = 5730$  let



V atmosféře (oxidace na  $\text{CO}_2$ ) a živých rostlinách (fotosyntéza) se ustaví rovnovážná koncentrace  $^{14}\text{C} - N_0$  (známe)

Po smrti organismu koncentrace  $^{14}\text{C}$  klesá:  $N = N_0 e^{-kt}$

Poměr  $^{14}\text{C}/^{12}\text{C}$  ve vzorku se určí hmotnostní spektrometrií

Stáří vzorku  $t$  lze určit z rovnice:

$$\ln(N/N_0) = -k t$$

$$k = \ln(2) / t_{1/2}$$

$$\ln(N/N_0) = -t \ln(2) / t_{1/2}$$



Willard Libby  
(1908 - 1980)

NP za chemii 1960